

وَاللَّهُمَّ إِنِّي أَعُوذُ بِكَ مِنْ أَنْ يَأْتِيَنِي
شَرٌّ مِّنْ قَبْلِي وَمِنْ بَعْدِي وَمِنْ يَمْنَانِي
وَمِنْ نَشَانِي وَمِنْ حَذَابِي وَمِنْ حَذَابِكَ



دانشکده فیزیک

گرایش: حالت جامد

بررسی نظری خواص فیزیکی لایه‌های نازک نیمرسانای اکسید فلزی

حليمه چرامين

استاد راهنما:

دکتر حسین عشقی

پایان نامه ارشد جهت اخذ درجه کارشناسی ارشد

پروردگارا:

نه میتوانم موهایشان را که در راه عزت من سفید شد، سیاه کنم و نه برای دستهای پینه بسته شان که ثمره تلاش برای افتخار من است، مرهمی دارم . پس توفیقم ده که هر لحظه شکر گزارشان باشم و ثانیه های عمرم را در عصای دست بودنشان بگذرانم.

تقدیم به

پدر و مادر دلسوز و مهربانم که زحماتشان با هیچ واژه ای قابل قدردانی نیست. تقدیم به خانواده عزیزم و تمام کسانی که دوستشان دارم. و با تشکر از خدمات استاد بزرگوارم جناب آقای دکتر حسین عشقی که خودباوری را به من آموختند و صادقانه تجربیات ارزشمندشان را در اختیار من گذاشتند .

تعهد نامه

اینجانب حلیمه چرامین دانشجوی دوره کارشناسی ارشد رشته فیزیک حالت جامد دانشکده فیزیک
دانشگاه شاهرود نویسنده پایان نامه بررسی خواص فیزیکی لایه‌های نازک نیمرسانای اکسید فلزی
تحت راهنمائی جناب آقای دکتر حسین عشقی متعهد می‌شوم.

- تحقیقات در این پایان نامه توسط اینجانب انجام شده است و از صحت و اصالت برخوردار است.
- در استفاده از نتایج پژوهش‌های محققان دیگر به مرجع مورد استفاده استناد شده است.
- مطالب مندرج در پایان نامه تاکنون توسط خود یا فرد دیگری برای دریافت هیچ نوع مدرک یا امتیازی در هیچ جا ارائه نشده است.
- کلیه حقوق معنوی این اثر متعلق به دانشگاه صنعتی شاهرود می‌باشد و مقالات مستخرج با نام «دانشگاه صنعتی شاهرود» و یا «Shahrood University of Technology» به چاپ خواهد رسید.
- حقوق معنوی تمام افرادی که در به دست آمدن نتایج اصلی پایان نامه تأثیرگذار بوده اند در مقالات مستخرج از پایان نامه رعایت می‌گردد.
- در کلیه مراحل انجام این پایان نامه ، در مواردی که از موجود زنده (یا باقیمانده آنها) استفاده شده است ضوابط و اصول اخلاقی رعایت شده است.
- در کلیه مراحل انجام این پایان نامه، در مواردی که به حوزه اطلاعات شخصی افراد دسترسی یافته یا استفاده شده است اصل رازداری ، ضوابط و اصول اخلاق انسانی رعایت شده است.

تاریخ: ۱۳۹۴/۱۱/۲۱

امضای دانشجو

مالکیت نتایج و حق نشر

- کلیه حقوق معنوی این اثر و محصولات آن (مقالات مستخرج، کتاب، برنامه‌های رایانه‌ای، نرم افزارها و تجهیزات ساخته شده است) متعلق به دانشگاه شاهرود می‌باشد. این مطلب باید به نحو مقتضی در تولیدات علمی مربوطه ذکر شود.
- استفاده از اطلاعات و نتایج موجود در پایان نامه بدون ذکر مرجع مجاز نمی‌باشد.

چکیده

مطالعه خواص الکتریکی نقش مهمی در تحقیقات تجربی و نظری در لایه‌های نازک مواد بشمار می‌آید. وابستگی دمایی رسانندگی الکتریکی یک پارامتر مهم در خواص الکتریکی نمونه‌های لایه نازک است که با بررسی آن می‌توان نه تنها از فرایندهای رسانشی در یک نمونه بلکه جزئیات وابسته به ترازهای ناخالصی شامل موقعیت و تراکم ترازها در داخل گاف نواری ماده اطلاعاتی بدست آورد. در این کار تحقیقاتی به بررسی نظری رسانندگی الکتریکی لایه‌های نازک نیمرساناهای اکسید لانتانیوم استرانسیوم (ZnO) کبالت $\text{La}_{0.7}\text{Sr}_{0.3}\text{CoO}_3$ (LSCO)، اکسید مس (CuO) آلایش شده با روتنیوم و اکسید روی (CuO) آلایش شده با نیکل در قالب دو سازوکار جهش برد متغیر مات (MVRH) و فعال‌سازی گرمایی آرنیوس پرداخته‌ایم.

در نمونه‌های LSCO، معلوم شد که دمای مشخصه مات (T_M) در گستره $2/8 \times 10^5 \text{ K} - 5/0 \times 10^6 \text{ K}$ ، چگالی ترازها در سطح فرمی ($N(E_f)$) در گستره $2/0 \times 10^{46} \text{ J}^{-1} \cdot \text{m}^{-3} - 8/3 \times 10^{44} \text{ J}^{-1} \cdot \text{m}^{-3}$ ، انرژی متوسط جهشی (W_{hop}) $14 \text{ meV} - 1/4 \text{ nm}^{-1}$ و فاصله متوسط جهشی (R_{hop}) $4/0 \text{ nm} - 1/4 \text{ nm}$ می‌باشد. در یکی از نمونه‌ها با رسانندگی الکتریکی بیشتر، با به کارگیری سازوکار فعال‌سازی گرمایی مقدار انرژی فعال‌سازی (E_a) در محدوده دمایی مورد بررسی در گستره $8 \text{ meV} - 19 \text{ meV}$ محاسبه شد.

در نمونه‌های $\text{CuO}:Ru$ ، با استفاده از سازوکار MVRH، T_M در گستره $1/6 \times 10^6 \text{ K} - 1/0 \times 10^5 \text{ K}$ ، $N(E_f)$ در حدود $10^{47} \text{ J}^{-1} \cdot \text{m}^{-3} - 1/8 \times 10^{48} \text{ J}^{-1} \cdot \text{m}^{-3}$ ، R_{hop} در $6/9 \text{ nm} - 9/3 \times 10^{-4} \text{ nm}$ و W_{hop} در گستره $29 \text{ meV} - 48 \text{ meV}$ با استفاده از سازوکار فعال‌سازی گرمایی آرنیوس E_a در بازه دمایی مورد مطالعه $72 \text{ meV} - 75 \text{ meV}$ تخمین زده شد.

در نمونه‌های ZnO:Ni، با استفاده از سازوکار MVRH، T_M در گستره $1/2 \times 10^6$ K- $1/7 \times 10^7$ K، $N(E_f)$ در حدود 4×10^{44} $J^{-1} \cdot m^{-3}$ ، R_{hop} ، ۱۱۲ meV-۵۱ در گستره 6×10^4 meV-۴۲ و با استفاده از سازوکار فعال‌سازی گرمایی آرنیوس E_a در بازه دمایی مورد مطالعه ۷/۵ nm-۱۱/۶ و با تخمین زده شد.

کلمات کلیدی: خواص الکتریکی، رسانندگی الکتریکی، لایه نازک نیمرسانا، La_{0.7}Sr_{0.3}CoO

ZnO:Ni ،CuO:Ru

لیست مقالات مستخرج از پایان نامه:

۱. چرامین، حلیمه؛ عشقی، حسین، (۱۳۹۴)، «مطالعه نظری خواص الکترونیکی لایه های نازک ZnO آلایش شده با Ni با استفاده از داده های رسانندگی الکتریکی در گستره دمایی ۳۰۰ K-۱۹۶۵-۱۹۶۲»، کنفرانس سالانه فیزیک ایران، دانشگاه مشهد، ص ۴۱۰-۴۱۴.
۲. چرامین، حلیمه؛ عشقی، حسین، (۱۳۹۴)، «مطالعه نظری خواص الکترونیکی لایه های نازک La_{0.7}Sr_{0.3}CoO₃ با استفاده از داده های مقاومت ویژه الکتریکی در گستره دمایی ۷۷ K-۳۲۰»، کنفرانس سیستم های بس ذره ای، دانشگاه صنعتی خواجه نصیرالدین طوسی تهران، ص ۷۳-۷۶.

فهرست مطالع

۱	فصل اول
۲	۱-۱ مقدمه
۲	۱-۲ دسته بندی مواد
۳	۱-۳ نیمرساناها
۶	۱-۴ بخشندوها و پذیرندها
۹	۱-۵ معرفی سازوکارهای رسانندگی الکتریکی در نیمرساناها لایه نازک
۱۰	۱-۵-۱ نظریه ترابری حاملها از طریق جهش برد متغیر مات (MVRH)
۱۳	۱-۵-۲ نظریه ترابری حاملها از طریق فعال سازی گرمایی (TA)
۱۵	فصل دوم
۱۶	۱-۶ مقدمه
۱۶	۱-۲-۱ لایه های نازک اکسید روی
۱۹	۱-۲-۲ لایه های نازک اکسید مس
۲۱	۱-۴-۲ لایه های نازک اکسید استرانسیم لانتانیم کبالت
۲۲	۱-۵-۳ مروری بر مقالات
۲۲	۲-۱-۵ رسانندگی الکتریکی در لایه های نازک ZnO
۲۹	۲-۲-۵ رسانندگی الکتریکی در لایه های نازک CuO
۳۲	۲-۳-۵ رسانندگی الکتریکی در لایه های نازک $\text{La}_x\text{Sr}_{1-x}\text{CoO}_3$

فصل سوم

۳۵ ۱-۳ مقدمه

۳۶ K-۷۷ مطالعه نظری خواص الکترونیکی لایه های نازک $\text{La}_{0.7}\text{Sr}_{0.3}\text{CoO}_3$ در گستره دمایی

۳۶ ۳۲۰

۳-۳ مطالعه نظری خواص الکترونیکی لایه های نازک CuO خالص (آلایش نشده) و آلایش شده با

۴۷ ۴۳۰ K - ۳۱۰ Ru با استفاده از داده های مقاومت الکتریکی در گستره دمایی

۵۴ ZnO ۴-۳ مطالعه نظری خواص الکترونیکی لایه

۳-۴-۱ مطالعه نظری خواص الکترونیکی لایه های نازک ZnO آلایش شده با Ni تهیه شده به

۵۴ روش کندوپاش

۳-۴-۲ مطالعه نظری خواص الکترونیکی لایه های نازک ZnO آلایش شده با % ۰/۵-۲/۵ Ni

۶۰ تهیه شده به روش اسپری پایرولیز

۷۰ منابع

فهرست اشکال

شکل ۱-۱: مورفولوژی وابسته به ساختارهای لایه‌های نازک ZnO	۱۷
شکل ۱-۲: ساختار شش‌گوشی ورتزایت اکسید روی	۱۸
شکل ۱-۳: سلول واحد در شبکه بلوری اکسید مس (CuO) [۱۳]	۲۰
شکل ۱-۴: ساختار هشت وجهی کبالت لانتانیم آلایش شده با استرانسیم	۲۲
شکل ۱-۵: داده‌های تجربی مربوط به اکسید روی تک بلور رشد یافته به روش هیدروترمال	۲۳
شکل ۱-۶: داده‌های تجربی مربوط به اکسید روی بس بلوری	۲۴
شکل ۱-۷: (الف) داده‌های تجربی مربوط به ZnO آلایش شده با As	۲۷
شکل ۱-۸: داده‌های تجربی مربوط به اکسید روی آلایش شده با Fe	۲۸
شکل ۱-۹: داده‌های تجربی مربوط به اکسیدمس با میزان جریان اکسیژن متغیر	۳۰
شکل ۱-۱۰: داده‌های تجربی مربوط به CuO با دمای بازپخت متغیر از $400^{\circ}C - 600$	۳۱
شکل ۱-۱۱: مقاومت الکتریکی بر حسب دما برای نمونه‌های La _{0.67} Sr _{0.33} CoO ₃ آلایش شده با Fe	۳۲
شکل ۱-۱۲: وابستگی دمایی مقاومت سطحی در لایه نازک LSCO	۳۳
شکل ۲-۱: (الف) عایق (ب) نیمرسانا و (ج) رسانا	۳
شکل ۲-۲: ساختار نواری نیمرسانای ذاتی	۴
شکل ۲-۳: موقعیت تراز فرمی در نیمرسانای ذاتی	۴
شکل ۲-۴: نیمرسانای نوع-n	۷
شکل ۲-۵: موقعیت تراز فرمی در نیمرسانای نوع-n	۸
شکل ۲-۶: (الف) نیمرسانای نوع-p	۸

شکل ۷-۲: موقعیت تراز فرمی در نیمرسانا نوع p- ۹

شکل ۸-۲: جهش الکترون‌ها در تراز های ناخالصی . ۱۱

شکل ۱-۳: وابستگی دمایی مقاومت الکتریکی بر حسب عکس دما در فیلم های نازک LSCO ۳۷

شکل ۲-۳: تغییرات لگاریتمی p بر حسب $T^{-1/4}$ برای نمونه های S1 و S2 و S3 ۳۸

شکل ۳-۳: تغییرات دمای مشخصه T_M برای نمونه های S2,S1 و S3 ۳۹

شکل ۴-۳: تغییرات R_{hop} و $W_{hop,Mott}$ بر حسب دما برای نمونه های S1 و S2 و S3 ۴۰

شکل ۵-۳: تغییرات p بر حسب $T/1000$ برای نمونه S3 ۴۲

شکل ۶-۳: وابستگی دمایی مقاومت الکتریکی بر حسب عکس دما در فیلم های نازک LSC ۴۲

شکل ۷-۳: تغییرات لگاریتمی p بر حسب $T^{-1/4}$ برای نمونه بازپخت شده در دمای $600^\circ C$ ۴۳

شکل ۸-۳: تغییرات $\bar{R}_{hop,Mott}$ و $\bar{W}_{hop,Mott}$ برای نمونه بازپخت شده در دمای $600^\circ C$ ۴۴

شکل ۹-۳: تغییرات p بر حسب $T/1000$ برای نمونه بازپخت شده در ط دمای $600^\circ C$ ۴۵

شکل ۱۰-۳: لگاریتم مقاومت الکتریکی بر حسب عکس دما در لایه های نازک CuO ۴۸

شکل ۱۱-۳: تغییرات p بر حسب $T^{-1/4}$ برای نمونه های CuO ۴۹

شکل ۱۲-۳: تغییرات دمای مشخصه T_M بر حسب درصد آلایش Ru ۵۰

شکل ۱۳-۳: تغییرات $R_{hop,Mott}$ و $W_{hop,Mott}$ بر حسب T برای نمونه های CuO ۵۰

شکل ۱۴-۳: نمودار تغییرات $\ln(p)$ بر حسب $T/1000$ در نمونه های برای نمونه های CuO ۵۲

شکل ۱۵-۳: وابستگی دمایی لگاریتم رسانندگی الکتریکی بر حسب عکس دما در لایه های نازک ZnO خالص و آلایش یافته با Ni ۵۴

شکل ۱۶-۳: تغییرات (σ) بر حسب $T^{1/4}$ برای نمونه های ZnO ۵۶

شکل ۱۷-۳: تغییرات دمای مشخصه T_M بر حسب درصد آلایش Ni ۵۶

- شکل ۱۸-۳: تغییرات الف) $R_{hop,Mott}$ و $\zeta / W_{hop,Mott}$ بر حسب دما برای نمونه های ZnO ۵۷
- شکل ۱۹-۳: نمودار تغییرات $\ln(\sigma)$ بر حسب $1000/T$ در نمونه های ZnO ۵۹
- شکل ۲۰-۳: تغییرات انرژی فعال سازی بر حسب درصد آلایش Ni ۶۰
- شکل ۲۱-۳: وابستگی دمایی لگاریتم بر حسب عکس دما در لایه های نازک ZnO ۶۱
- شکل ۲۲-۳: تغییرات p بر حسب $T^{1/4}$ برای نمونه های ZnO ۶۳
- شکل ۲۳-۳: تغییرات دمای مشخصه T_M بر حسب درصد آلایش Ni ۶۳
- شکل ۲۴-۳: تغییرات $R_{hop,Mott}$ و $\zeta / W_{hop,Mott}$ بر حسب T برای نمونه های ZnO ۶۴
- شکل ۲۵-۳: تغییرات p بر حسب $1000/T$ در فیلم های ZnO ۶۶
- شکل ۲۶-۳: تغییرات انرژی فعال سازی فیلم های ZnO بر حسب درصد آلایش Ni ۶۷

فهرست جداول

- جدول ۱-۱: خواص ZnO ورتزایت در دمای اتاق ۱۹
- جدول ۲-۱: مقادیر انرژی فعالسازی گرمایی مربوط به ناحیه دمایی بالا و پایین. ۲۳
- جدول ۱-۲: مقادیر انرژی فعالسازی گرمایی مربوط به ناحیه دمایی ۱ و ۲ و ۳. ۲۴
- جدول ۱-۳: مقادیر دمای مشخصه T_M , چگالی سطح فرمی ($N(E_F)$, نسبت فاصله متوسط جهش‌ها به طول جایگزیده R و W انرژی متوسط جهش‌های تخمین زده با سازوکار جهش برد متغیرمات. ۲۵
- جدول ۱-۴: مقادیر دمای مشخصه T_0 , چگالی سطح فرمی ($N(E_F)$, فاصله متوسط جهش‌ها R و W انرژی متوسط جهش‌های تخمین زده با سازوکار جهش برد متغیرمات. ۲۶
- جدول ۱-۵: مقادیر چگالی سطح فرمی ($N(E_F)$, فاصله متوسط جهش‌ها R و W انرژی متوسط جهش‌های تخمین زده با سازوکار جهش برد متغیرمات. ۲۶
- جدول ۱-۶: مقادیر چگالی سطح فرمی ($N(E_F)$, فاصله متوسط جهش‌ها R و W انرژی متوسط جهش‌های تخمین زده با سازوکار جهش برد متغیرمات. ۲۸
- جدول ۱-۷: مقادیر چگالی سطح فرمی ($N(E_F)$, فاصله متوسط جهش‌ها R و W انرژی متوسط جهش‌های تخمین زده با سازوکار جهش برد متغیرمات. ۳۰
- جدول ۱-۸: مقادیر دمای مشخصه T_0 , چگالی سطح فرمی ($N(E_F)$, فاصله متوسط جهش‌ها R_{hop} و W_{hop} انرژی متوسط جهش‌های تخمین زده با سازوکار جهش برد متغیرمات. ۴۱
- جدول ۳-۱: مقدار $N(E_F)$, T_M , $R_{hop,Mott}$, $W_{hop,Mott}$ در نمونه‌های مورد بررسی LSCO ۵۱
- جدول ۳-۲: مقادیر $N(E_F)$, T_M , $\bar{R}_{hop,Mott}$, $\bar{W}_{hop,Mott}$ در نمونه‌های CuO آلایش شده Ru ۵۸
- جدول ۳-۳: مقادیر $N(E_F)$, T_M , $\bar{R}_{hop,Mott}$, $\bar{W}_{hop,Mott}$ در گستره دمایی داده‌های گزارش شده در نمونه‌های ZnO:Ni تهیه شده به روش کندوپاش ۶۵
- جدول ۴-۳: مقادیر $N(E_F)$, T_M , $\bar{R}_{hop,Mott}$, $\bar{W}_{hop,Mott}$ در گستره دمایی داده‌های گزارش شده. در نمونه‌های ZnO:N تهیه شده به روش اسپری پایرولیز ۶۵

فصل اول .

مبانی نظری

۱-۱ مقدمه

در این فصل در بخش ۲-۲ دسته بندی مواد شرح داده شده است، در بخش ۳-۲ به بررسی مواد نیمه رسانا پرداخته ایم، در بخش ۴-۲ بخشنده‌ها و پذیرنده‌ها توضیح داده شده است، در بخش ۵-۲ سازوکارهای رسانندگی الکتریکی در نیمرساناهای لایه نازک را معرفی و شرح خواهیم داد.

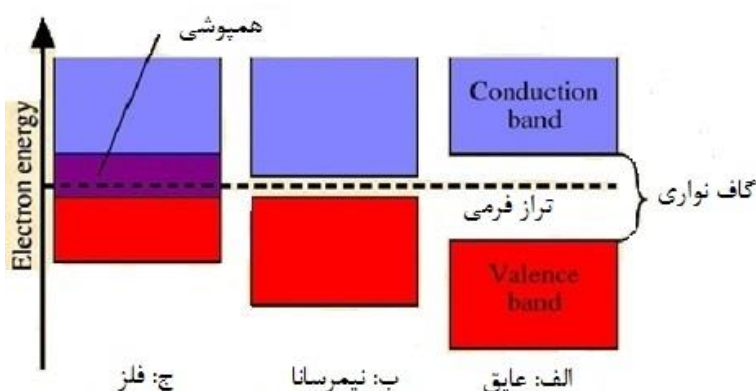
۲-۱ دسته بندی مواد

مواد بلورین از نظر رسانندگی الکتریکی در حالت کلی به سه دسته رسانا، نیمرسانا و عایق تقسیم بندی می‌شوند. آنچه که این سه دسته از مواد را از هم متمایز می‌سازد نحوه قرارگیری نوارهای انرژی و گاف نواری مابین آنهاست که در شکل ۱-۱ نشان داده شده است. در عایق‌ها، الکترون‌ها در نوار ظرفیت به وسیله یک گاف انرژی نسبتاً بزرگ (در حدود $eV = 5$) از نوار رسانش جدا شده‌اند. در رساناهای مانند فلزات نوار ظرفیت با نوار رسانش همپوشانی داشته و بدان معنی است که گاف انرژی وجود ندارد و در نیمرساناهای یک شکاف نسبتاً باریک در گستره $eV = 0/3$ بین نوار ظرفیت و نوار رسانش وجود دارد.

در رساناهای در دمای صفر کلوین ($T=0\text{ K}$)، تمام ترازهای انرژی در نوار رسانش تا تراز انرژی فرمی توسط الکترون‌ها اشغال بوده و با اعمال یک میدان الکتریکی کوچک رسانندگی الکتریکی امکان‌پذیر می‌باشد. در دماهای بالاتر از صفر کلوین، الکترون‌ها در حوالی تراز فرمی به صورت گرمایی برانگیخته شده و از زیر تراز فرمی به انرژی‌های بالای انرژی فرمی منتقل می‌شوند.

در عایق‌ها به علت بزرگی گاف انرژی بین نوار رسانش و نوار ظرفیت در دماهای بالا امکان گذار الکترونی از نوار ظرفیت به نوار رسانش بسیار کم محتمل بوده و درنتیجه چگالی حامل‌های آزاد بسیار ناچیز خواهد بود.

در نیمرساناهای، در دمای صفر کلوین، نوار ظرفیت با الکترون پر است و نوار رسانش، خالی است لکن در دمای بالاتر از صفر کلوین و به علت کوچکتر بودن گاف نواری در این مواد در مقایسه با عایق‌ها، الکترون‌ها می‌توانند به صورت گرمایی بر انگیخته شده و از نوار ظرفیت به نوار رسانش بروند. این برانگیختگی‌ها می‌توانند منجر به ایجاد تراکمی از الکترون‌های آزاد در نوار رسانش و حفره‌های آزاد در نوار ظرفیت شده و موجب رسانندگی الکتریکی قابل اندازه‌گیری در این مواد شود [۱، ۲ و ۳].



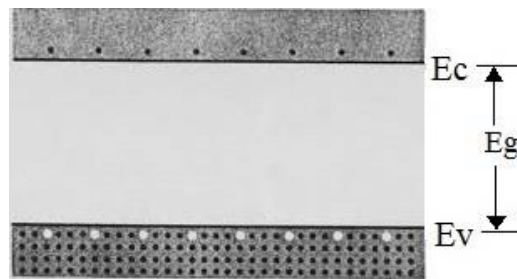
شکل ۱-۱: (الف) عایق (ب) نیمرسانا و (ج) رسانا [۱ و ۲].

۱-۳ نیمرساناهای

همانطور که در بالا به آن اشاره شد در رساناهای همپوشی نوار ظرفیت و نوار رسانش باعث می‌شود که رسانش در هر دمایی صورت بگیرد و این ویژگی باعث می‌شود تا کنترل رسانندگی در این مواد آسان نباشد. در مقابل مواد نیمرسانا رسانندگی الکتریکی را می‌توان از طرق گوناگون از جمله آلایش، تابش نور، ابعاد و ... تغییر داد. این ویژگی منجر به استفاده بیشتر از نیمرساناهای به جای رساناهای در صنعت قطعات الکترونیک و اپتولکترونیک شده است.

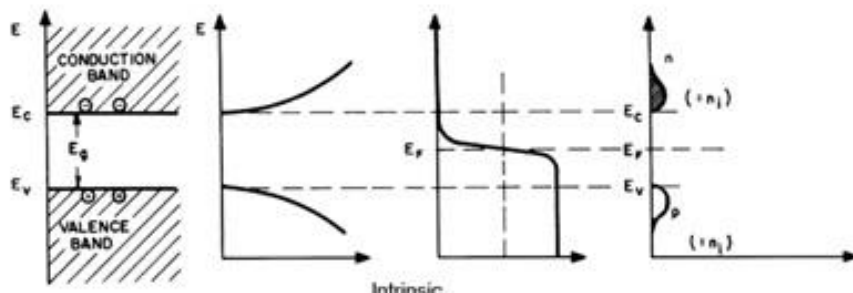
نیمرساناهای را می‌توان به دو دسته نیمرساناهای ذاتی و نیمرساناهای غیرذاتی (آلایش نشده) تقسیم‌بندی کرد.

نیمرسانای ذاتی: به نیمرساناهایی گفته می‌شود که ناخالصی نداشته باشند. در نیمرساناهای ذاتی تعداد الکترون‌های موجود در نوار رسانش با تعداد حفره‌های موجود در نوار ظرفیت با هم برابرند.



شکل ۲-۱: ساختار نواری نیمرسانای ذاتی [۳].

تراز فرمی باید در موقعیتی قرار بگیرد که حول آن تقارن تراکم حامل‌ها وجود داشته باشد. به دلیل برابر بودن تراکم الکترونها و حفره‌ها در یک نیمرسانای ذاتی، موقعیت تراز فرمی در وسط گاف نواری قرار می‌گیرد که در شکل ۳-۱ نشان داده شده است.



شکل ۳-۱: موقعیت تراز فرمی در نیمرسانای ذاتی [۳].

با افزایش دما می‌توان تعداد حامل‌های بار الکتریکی و در نتیجه رسانایی الکتریکی را در مواد نیمرسانای ذاتی افزایش داد. چگالی الکترون‌ها در نیمرسانای ذاتی از رابطه زیر بدست می‌آید:[۳و۴]

$$n = \int_{Ec}^{\infty} n(E) dE = \int_{Ec}^{\infty} N(E) F(E) dE \quad (1-1)$$

که در آن $N(E)$ چگالی حالت‌های مجاز انرژی در واحد حجم و $F(E)$ احتمال اشغال یک حالت الکترونی با انرژی E توسط الکtron می‌باشد. همانطور که قبل ذکر شد برای نیمرسانای ذاتی، تعداد الکترون‌ها در واحد حجم نوار رسانش برابر با تعداد حفره‌ها در واحد حجم نوار ظرفیت است، یعنی $n_i = p = ni$ که در آن n_i تراکم (چگالی) حامل‌های ذاتی است. تراکم حامل‌های ذاتی به گاف انرژی، دما و نیز به جزئیات مربوط به جرم در لبه نوارهای انرژی بستگی دارد. حامل‌های ذاتی اغلب عامل محدودکننده‌ای برای کار در دماهای بالا هستند [۴]. تراکم حامل‌های ذاتی از رابطه زیر موسوم به قانون اثر جرم^۱ بدست می‌آید که در شرایط تعادل گرمایی هم برای نیمرسانای ذاتی و هم نیمرسانای غیرذاتی معتبر است [۳و۴]:

$$np = n_i^2 \quad (2-1)$$

و یا

$$n_i^2 = N_C N_V \exp\left[-\frac{E_g}{kT}\right] \quad (3-1)$$

¹ Mass-action Law

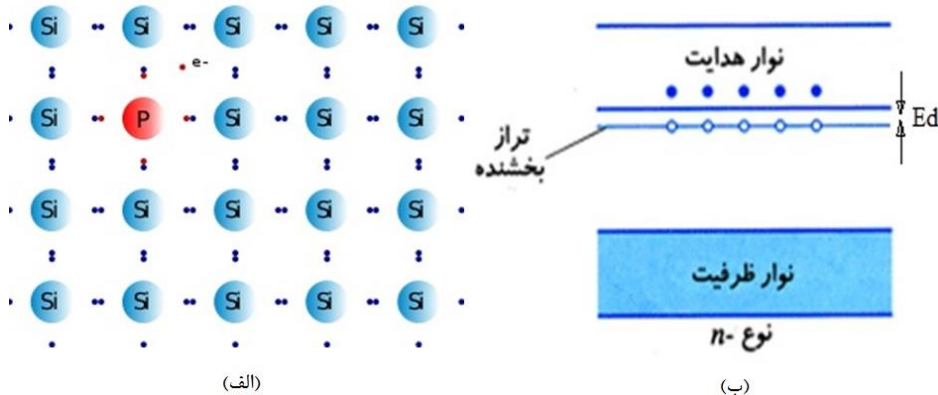
$$n_i = \sqrt{N_C N_V} \exp\left[-\frac{E_g}{2kT}\right] \quad (4-1)$$

که در آن $E_g \equiv (E_C - E_V)$ است.

نیمرسانای غیرذاتی: با اضافه کردن مقدار کمی ناخالصی به ماده‌ی نیمرسانا می‌توان چگالی حامل‌های بار الکتریکی را به طور قابل ملاحظه‌ای افزایش داد. منظور از ناخالصی، حضور اتم‌های متفاوت با اتم‌های میزبان در ماده نیمرساناست. با اضافه شدن ناخالصی به نیمرسانا، مقاومت ویژه‌ی الکتریکی ماده کاهش یافته و به عبارت دیگر رسانایی الکتریکی آن به صورت قابل توجهی افزایش می‌یابد. این ناخالصی‌ها، می‌توانند در دو نقش بخشنده الکترون یا پذیرنده الکترون در ماده ایفای نقش کنند. یک نیمرسانا که با ناخالصی بخشنده آلایش شود نیمرسانای نوع-n و اگر با ناخالصی پذیرنده آلایش شود نیمرسانا نوع-p نامیده می‌شود.

۴-۱ بخشنده‌ها و پذیرنده‌ها

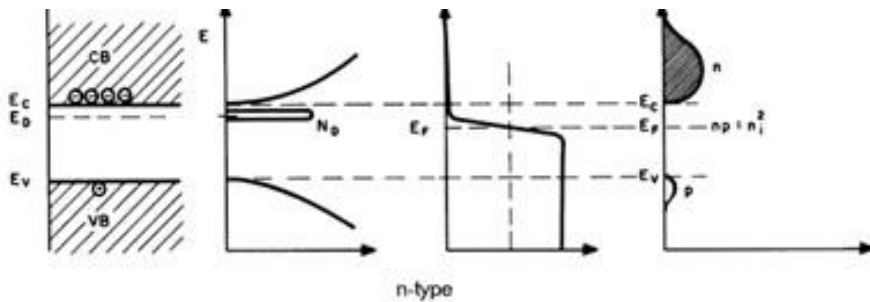
نیمرسانا نوع-n با اضافه کردن ناخالصی بخشنده مانند As(آرسنیک)، Pb(آنتمیوان) و یا P(فسفر) به یک نیمرسانای ذاتی نظریه Si تولید می‌شود. در این مورد هر اتم بخشنده دارای پنج الکترون در لایه ظرفیت خود بوده و وقتی اتم بخشنده جایگزین یک اتم در شبکه بلوری می‌شود تنها چهار الکترون ظرفیت با اتم‌های اطراف به اشتراک گذاشته می‌شود و الکترون پنجم ظرفیت در صفر کلوین با پیوند ضعیفی به اتم وابسته خود باقی می‌ماند (شکل ۴-۱-الف). در صورت بالا رفتن دما این الکترون از اتم مادر خود جدا شده و می‌تواند آزادانه در داخل بلور حرکت کند. موقعیت انرژی بستگی این الکترون در داخل گاف نواری در نزدیکی لبه نوار رسانش در نظر گرفته می‌شود (شکل ۴-۱-ب).



شکل ۱-۴: (الف) نیمرسانای سیلیسیم که با فسفر به عنوان ناخالصی بخشندۀ آایش شده و به نیمرسانای نوع- n - تبدیل شده است و (ب) ساختار نواری در این نیمرسانا [۱، ۲، ۳].

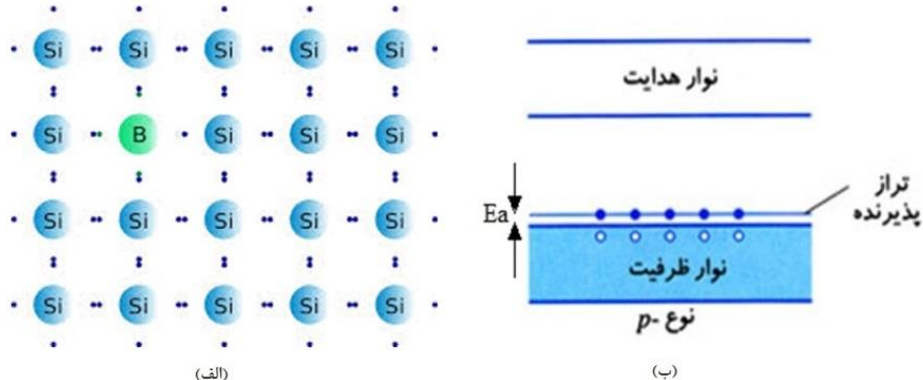
تعداد الکترون‌های آزاد توسط بخشندۀ‌ها بسیار بیشتر از تعداد الکترون‌های آزاد و حفره‌ها در نیمرسانا ذاتی است که این امر باعث می‌شود رسانایی ماده عمدتاً الکترون‌ها با بار منفی حامل اکثربوده و در نتیجه ماده به نیمرسانای نوع- n موسوم است.

زوج‌های حفره-الکترون به طور مستمر بر اثر تحریکات گرمایی شبکه در نیمرسانای نوع- n نیز تشکیل می‌شوند. از آنجا که تعداد اتمهای بخشندۀ الکترونی زیاد هستند و بسیاری از الکترون‌های آزاد با حفره‌ها بازترکیب می‌شوند این امر باعث کاهش تعداد حفره‌ها در نیمرسانا نوع- n در مقایسه با نیمرسانای ذاتی می‌گردد. در این ماده از آنجا که تعداد الکترون‌ها در نوار رسانش به عنوان حامل‌های اکثربیشتر از حفره‌ها در نوار ظرفیت هستند تراز فرمی به لبه نوار رسانش نزدیکتر خواهد بود تا لبه نوار ظرفیت (شکل ۱-۵).



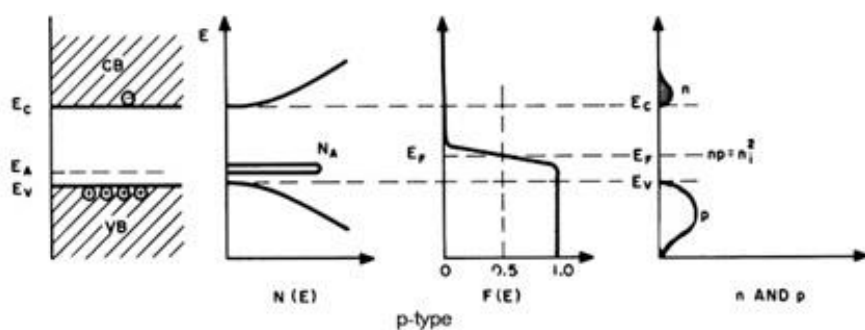
شکل ۱-۵: موقعیت تراز فرمی در نیمرسانای نوع-n.

نیمرسانای نوع-p با اضافه کردن ناخالصی پذیرنده مانند B(بور)، Ga(گالیم) و یا In(ایندیم) به یک نیمرسانای ذاتی نظیر Si تولید می‌شود. هر اتم پذیرنده دارای سه الکترون در لایه ظرفیت بوده و هنگامی که یک اتم پذیرنده جایگزین یک اتم میزبان در شبکه بلوری می‌شود، تنها سه الکترون ظرفیت با اتم‌های اطراف به اشتراک گذاشته می‌شود که این امر باعث ایجاد یک پیوند ناکامل در شبکه می‌شود (شکل ۱-۶-الف). وجود این پیوند ناکامل به الکترون‌های ظرفیت در اتم‌های مجاور این امکان را می‌دهد که از جایگاه خود بدین جایگاه منتقل شود. حضور این جایگاه خالی به حفره موسوم است.



شکل ۱-۶: (الف) نیمرسانای سیلیسیم که با بور به عنوان ناخالصی آلایش شده و به نیمرسانای نوع-p تبدیل می‌شود و (ب) ساختار نواری در این نیمرسانا [۳و۲، ۱].

تعداد حفره ها ایجاد شده توسط پذیرنده بسیار بیشتر از تعداد الکترون های آزاد در نیمرسانی ذاتی است که این امر باعث می شود رسانایی ماده عمدتاً حفره ها با بار مثبت حامل اکثربوده و در نتیجه ماده به نیمرسانی نوع-p موسوم است. زوج های حفره-الکترون به طور مستمر بر اثر تحریکات گرمایی شبکه در نیمرسانی نوع-p تشکیل می شوند. از آنجا که تعداد اتمهای پذیرنده الکترونی زیاد هستند و بسیاری از حفره ها با الکترون های آزاد بازترکیب می شوند این امر باعث کاهش تعداد الکترونها در نیمرسانا نوع-p در مقایسه با نیمرسانی ذاتی می گردد. در این ماده از آنجا که تعداد حفره ها در نوار ظرفیت به عنوان حامل های اکثربیشتر از الکترون ها در نوار رسانش هستند تراز فرمی به لبه نوار ظرفیت نزدیکتر خواهد بود تا لبه نوار رسانش (شکل ۷-۱).



شکل ۷-۱: موقعیت تراز فرمی در نیمرسانا نوع-p.[۳]

۱-۵ معرفی سازوکارهای رسانندگی الکتریکی در نیمرساناهای لایه نازک

ما در این بخش به معرفی دو سازوکار رسانندگی الکتریکی جهش برد متغیر مات و فعال سازی گرمایی در نیمرساناهای لایه نازک پرداخته ایم.

۱-۵-۱ نظریه ترابری حاملها از طریق جهش برد متغیر مات (MVRH^۱)

اساس این نظریه مبتنی بر این واقعیت است که چنانچه حامل های بار به ویژه الکترون های جایگزیده در ترازهای وابسته به ناخالصی ها و یا ناکاملی های بلوری در نزدیکی سطح فرمی از تراکم کافی برخوردار باشند به طوری که حتی در گستره دمایی پایین تابع موج وابسته به آنها با یکدیگر همپوشی داشته باشند (در صورتی که فاصله متوسط بین این ناکاملی های نقطه ای قابل مقایسه با شعاع بوهر مربوط به آن ناکاملی ها باشند) در این صورت رفتار مربوط به این الکترون ها در شرایط حضور میدان الکتریکی، بدون نیاز به برانگیختگی به نوار رسانش، می توانند در همان ترازهای جایگزیده به صورت جهشی عمل رسانندگی الکتریکی و یا به بیانی دیگر انتقال از یک حالت الکترونی به حالتی دیگر را انجام دهند.

از نظر فیزیکی اندازه گیری و تحلیل داده های مربوط به تغییرات دمایی مقاومت ویژه (T) مواد می تواند اطلاعات مفیدی از سازوکار های ترابری حامل ها، همچنین میزان ناخالصی و توزیع ترازهای وابسته به نظر انرژی را در اختیار ما قرار دهد. در گستره دمایی پایین غالباً فرایند رسانش جهشی وابسته به تحرک حامل ها بین ترازهای جایگزیده وابسته به ترازهای ناکاملی های بلوری و نیز اتمهای ناخالصی در داخل گاف نواری سازوکار غالب می باشد. سازوکار رسانش MVRH وابسته به الکترون هایی است که بین ترازهایی که در مجاورت تراز فرمی قرار دارد جهش می کنند (شکل ۱-۸). مقاومت ویژه الکتریکی لایه وابسته به این فرآیند از رابطه زیر حاصل می شود [۵-۱۲] :

$$\rho_M(T) = \rho_{M0} \exp(T_M/T)^{1/n} \quad (5-1)$$

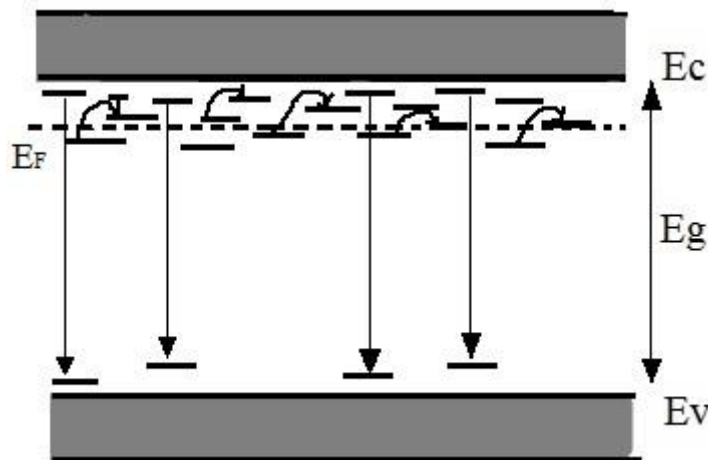
^۱ Mott - Variable Range Hopping

در مدل MVRH مقدار n برابر ۴ و T_M و ρ_{M0} ضرایب ثابت و مستقل از دما هستند. در گزارش رامبو و همکاران [۶] بستگی دمایی ضعیف ρ_{M0} به صورت رابطه زیر ارائه شده است:

$$\rho_{M0} = \frac{(8\pi)^{1/2}}{3e^2 V_p} \left(\frac{N(E_F)}{\alpha k_B T} \right)^{-1/2} \quad (6-1)$$

که در رابطه بالا V_p بسامد فونون، $N(E_F)$ چگالی ترازها در سطح فرمی و α معکوس طول جایگزیدگی (یکی از) می باشد.

برای بدست آوردن T_M می توان از شبیب نمودار $\ln(\rho)$ بر حسب $T^{-1/4}$ استفاده کرد.



شکل ۱-۸: جهش الکترون‌ها در ترازهای ناخالصی.

در این فرایند فاصله جهش‌ها ثابت نیست و تابع دما می‌باشد. میانگین این کمیت از روابط معادل

زیر به صورت [۷]

$$\bar{R}_{hop,Mott} = \left(\frac{3\zeta}{8} \right) \cdot \left(\frac{T_M}{T} \right)^{1/4} \quad (7-1)$$

و یا [۸ و ۹]

$$\bar{R}_{hop,Mott} = \left[\frac{9}{8\pi\alpha k_B TN(E_F)} \right]^{1/4} \quad (8-1)$$

بدست می‌آید. در این روابط ζ طول جایگزیدگی یا همان شعاع بوهر ($a_B^* = 4\pi\epsilon_0\epsilon\hbar^2 / m^* e^2$)

می‌باشد. با مشخص شدن دمای مشخصه T_M می‌توان از رابطه زیر چگالی ترازها را در سطح فرمی

$$(N(E_F) \text{ با یکای } J^{-1}m^{-3}) \text{ بدست آورد [۷، ۱۰، ۱۱ و ۱۲]} : [۷]$$

$$T_M = \left(\frac{18}{k_B \cdot \zeta^3 N(E_F)} \right) \quad (9-1)$$

در این فرایند میانگین انرژی جهش‌ها از معادلات هم ارز زیر به صورت [۷]:

$$\bar{W}_{hop,Mott} = (k_B T / 4)(T_M / T)^{1/4} \quad (10-1)$$

و یا [۸ و ۹]:

$$\bar{W}_{hop,Mott} = \left(\frac{3}{4\pi R^3 N(E_F)} \right) \quad (11-1)$$

بدست می‌آید. لازم به ذکر آنکه شرط استفاده و صدق بودن نظریه جهش برد متغیر مات منوط به

برآورده شدن شرایط زیر به صورت زیر می‌باشد [۸ و ۹]:

$$\bar{W}_{hop,Mott} > k_B T \quad (12-1)$$

$$\left[\bar{R}_{hop,Mott} / \zeta \right] \geq 1 \quad (13-1)$$

۱-۵-۲ نظریه ترازهای حاملها از طریق فعال سازی گرمایی (TA)^۱

در دماهای بالا رسانش الکتریکی غالباً به ترازهای حاملهای آزاد ناشی از برانگیختگی حاملهای از ترازهای ناخالصی (ترازهای کم عمق و عمیق) به نوار رسانش در مواد نوع-n و به نوار ظرفیت در مواد نوع-p نسبت داده می‌شود. این رسانش معمولاً به کمک نظریه آرنیوس توضیح داده می‌شود. این نظریه با فرمول کلی [۷، ۸، ۱۳، ۱۴ و ۱۵]:

$$\rho(T)^{-1} = \rho_1^{-1} \exp^{\frac{-E_1}{k_B T}} + \rho_2^{-1} \exp^{\frac{-E_2}{k_B T}} \quad (14-1)$$

ارایه می‌شود. که در آن ρ_1 و ρ_2 ضرایب ثابت و مستقل از دما، T دمای مطلق، k_B ثابت بولتزمن و E_1 و E_2 انرژی‌های فعال سازی مربوط به ترازهای کم عمق و عمیق [۷] و یا مرز دانه‌ها [۱۶] می‌باشد. الکترون‌های جایگزیده در این ترازها با افزایش دما به نوار رسانش برانگیخته شده و در رسانندگی مشارکت می‌کنند.

به منظور یافتن موقعیت ترازهای انرژی در هر یک از نمونه‌های مورد بررسی می‌توان از روش برازش داده‌های مقاومت ویژه بر حسب دما از طریق کمینه سازی مجموع مربعات استفاده کرد.

¹ Thermal Activation (TA)

فصل دوم

مروری بر مقالات

۱-۲ مقدمه

تکنولوژی لایه های نازک را می توان یکی از قدیمی ترین هنرها (با قدمتی چند هزار ساله) و همچنین یکی از جدیدترین علوم دانست. در حدود چهار هزار سال پیش زرکوبی و طلاکاری در تزیین و مقاوم سازی سطوح و همچنین لایه نشانی جیوه بر روی قطعات مسی انجام می گرفت. اما صرف نظر از امکان استفاده از لایه های نازک، فناوری تولید لایه های نازک از حدود ۳۰۰ سال پیش آغاز شد. می توان گفت اولین لایه های نازک در سال ۱۸۳۷ و با روش الکترولیز تولید شدند. به تدریج با رشد تکنولوژی میکروالکترونیک، در اوایل قرن بیستم ساخت لایه های نازک تر از یک میکرومتر (زیر میکرونی) اهمیت ویژه ای یافت و در اواخر قرن بیستم با ظهر و پیشرفت مباحث نانومتری و پیدایش روش های شناسایی مواد، تولید لایه های نازک نانومتری (زیر 100 nm) پیشرفت چشمگیری پیدا کرد. لایه های نازک در ساخت وسایل نوری، الکترونیکی و اپتوالکترونیکی، آینه های لیزر و قطعات آکوستیکی نقش اساسی دارند و شمار زیادی از تحقیقات را به خود اختصاص داده اند [۱۷، ۱۸]. از نظر خواص الکتریکی در ادامه به معرفی چند اکسید فلزی که لایه های نازک آن در فصل ۳ مورد بررسی قرار گرفته اند، می پردازیم.

۲-۲ لایه های نازک اکسید روی

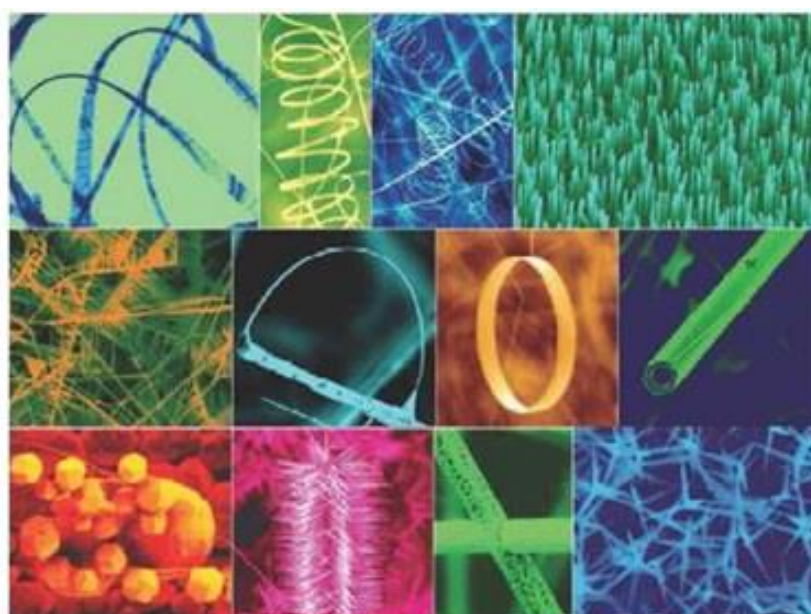
اکسید روی (ZnO) از سال ۱۹۳۵ به صورت گستره ای مورد مطالعه قرار گرفته و در یک دهه اخیر با توجه به توسعه تکنولوژی رشد آن به صورت تک بلوری و لایه های نازک که منجر به ساخت دستگاه های الکترونیکی و اپتوالکترونیکی گردیده مورد توجه دانشمندان واقع شده است [۱۹].

اکسید روی ماده ای است با کاربردهای متنوع و دارای انواع مختلف مورفولوژی سطحی نظیر نانو سیم ها^۱، نانو میله ها^۲، نانو تسمه ها^۱، نانو قفس ها^۲، نانو شانه ها^۲، نانوفنرها^۴ و ... (شکل ۱-۲) [۲۰]. این

¹ Nanowires

² Nanorods

لایه‌ها به روش‌های مختلف از جمله لایه‌نشانی بخار شیمیایی^۵ (CVD) ، هیدروترمال^۶ ، سل ژل^۷ ، تبخیر کربوترمال^۸ ، لایه‌نشانی بخار شیمیایی آلی-فلزی^۹ (MOCVD) و اسپری پایرولیزیز^{۱۰} (افشانه داغ) و ... تهییه شده‌اند [۲۱-۲۶].



شکل ۱-۲: مورفولوژی وابسته به ساختارهای لایه‌های نازک ZnO [۲۰].

در شرایط فشار و دمای اتاق، ZnO به شکل ساختار ورتزایت بلوری می‌شود، شکل ۲-۲. این ساختار دارای شبکه شش‌گوشی بوده و با دو زیرشبکه Zn^{+2} و O^{2-} مشخص می‌شود، به طوری که یونهای Zn با چهار وجهی‌های یونهای O و بر عکس احاطه شده‌اند [۱۹].

^۱ Nanobelts

^۲ Nanocages

^۳ Nanocombs

^۴ Nanosprings

^۵ Chemical Vapor Deposition

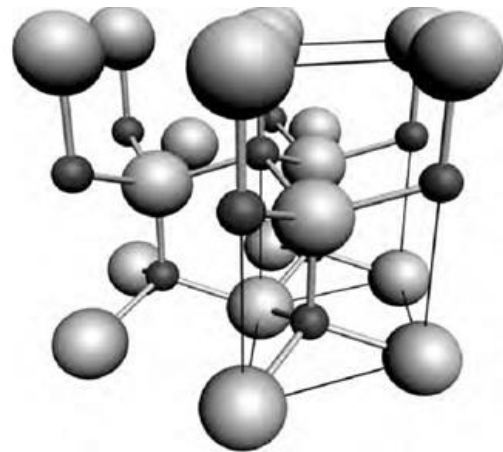
^۶ Hydrothermal

^۷ Sol-gel

^۸ Carbothermal

^۹ Metal-Organic Chemical Vapor Deposition

^{۱۰} Spray pyrolysis



شکل ۲-۲: ساختار شش‌گوشی ورتزایت اکسید روی. اتم‌های O با کره‌های بزرگ سفید و اتم‌های Zn با کره‌های کوچک سیاه رنگ نشان داده شده است. یک واحد شبکه نیز در شکل مشخص شده است [۱۹].

متداولترین چهار صفحه انتهایی ZnO در ساختار ورتزایت صفحات (0001) منتهی به Zn و صفحات (000 $\bar{1}$) منتهی به O که قطبی هستند و صفحات (1120) و (1010) که شامل تعداد مساوی اتم‌های O و غیر قطبی می‌باشند [۱۹]. جدول ۱-۲ مجموعه ایی از پارامترهای فیزیکی ZnO را نشان می‌دهد. البته هنوز در برخی از موارد قطعیت کافی وجود ندارد. برای مثال، گزارش‌های اندکی در مورد ZnO به عنوان نیمرسانای نوع p وجود دارد، بنابراین مقادیر تحرک و جرم مؤثر حفره‌ها قطعی نیست [۲۷]. لایه‌های نازک اکسید روی در اغلب گزارش‌ها به علت تناسب عنصری ناکامل (عمدتاً وجود تهیجاهای اکسیژن) به عنوان نیمرساناهایی با رسانندگی نوع n شناخته می‌شود.

جدول ۱-۲: خواص ZnO و رتزايت در دمای اتاق [۲۷].

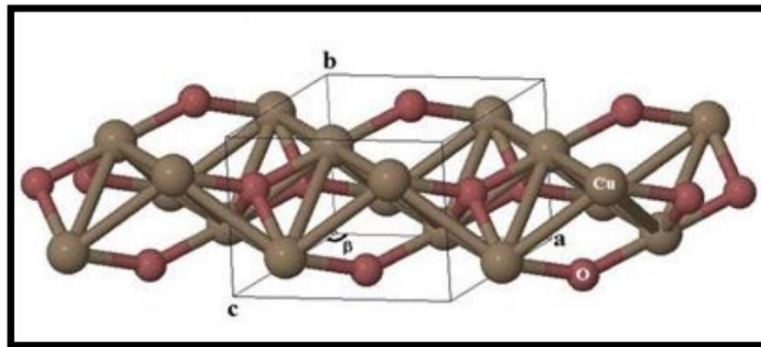
خاصیت	مقدار
a_0	۰/۳۲۴۹۵ nm
c_0	۰/۵۲۰۶۹ nm
c_0/a_0	۱/۶۰۲
چگالی	۵/۶۰۶ g/cm³
فاز پایدار	ورتزايت
دمای ذوب	۱۹۷۵ °C
ثابت دی الکتریک استاتیک	۸/۶۵۶
ضریب شکست	۲/۰۰۸
گاف نواری	۳/۳۷ eV، مستقیم
جرم مؤثر الکترون	۰/۲۴ m_0
جرم مؤثر حفره	۰/۵۹ m_0
تحرک الکترون ها	۲۰۰ cm²/V.s
تحرک حفره ها	۵-۵۰ cm²/V.s

۳-۲ لایه های نازک اکسید مس

اکسید مس (CuO) در شرایط تناسب عنصری ناکامل (غالباً دارای تهیجاهاي اکسیژن) نیمرسانایی از نوع P-می باشد که در فازهای (Cu₂O,cuprite) با گاف نواری در حدود ۲ eV و (CuO,tinorite) با گاف نواری در حدود ۱/۲-۲/۱ eV وجود دارد [۲۸]. اکسید مس (CuO) دارای ساختار تک میلی

(مونوکلینیک) بوده (شکل ۳-۲) و ثابت‌های شبکه‌ای آن به ترتیب عبارتند از $a = ۴/۶۸۴ \text{ \AA}$

$c = ۵/۱۲۹ \text{ \AA}$, $b = ۳/۴۲۳$ و زاویه بین بردارهای شبکه a و c برابر $\beta = ۹۹/۵۰^\circ$ می‌باشد [۲۹].



شکل ۳-۲: سلول واحد در شبکه بلوری اکسید مس (CuO) [۲۹].

اکسید مس دارای رنگ قهوه‌ای تیره و متمایل به سیاه است که این تیرگی ناشی از باریکی گاف نواری و گذارهای مستقیم بین نواری می‌باشد [۳۰ و ۳۱]. این امر موجب جذب بالای نور مرئی و استفاده از آن در قطعات اپتیکی می‌باشد. هم چنین اکسید مس (CuO) به دلایلی نظیر فراوانی ماده اولیه، غیرسمی بودن، تولید آسان و توانایی تغییر و بهینه سازی خواص آن با استفاده از روش‌های مختلف مورد توجه بسیار قرار گرفته است.

نانو ساختارهای CuO به دلیل جنبه‌های نظری گوناگون در آنها، ایمنی و محیط زیست دوستی به عنوان مواد الکترود برای نسل جدید باتری‌های یون-لیتیم قابل شارژ در نظر گرفته شده است [۳۲]. این لایه اکسیدی (CuO) همچنین به دلیل جذب بالای نور مرئی، گسیل گرمایی کم، رسانندگی الکتریکی نسبتاً خوب و غلظت حامل بالا در ساخت سلول‌های خورشیدی به کار می‌روند [۳۳]. خواص آبگریزی نانو ساختارهای CuO این ماده را به کاندید امیدوارکننده‌ایی برای حفاظت سطحی، انتقال آب، جداسازی آب و روغن و میکروسیال‌ها تبدیل کرده است [۳۴]. علاوه بر این، نانو ساختارهای CuO در دیگر قطعات

از جمله حسگرهای گازی [۳۵]، نانوسیالها [۳۶]، آشکارسازهای نوری [۳۷]، ابر خازن‌ها [۳۸]، فتوکاتالیز [۳۹] و رساناهای ذخیره سازی مغناطیسی [۴۰] مورد استفاده قرار می‌گیرد.

اکسید مس (CuO) نانو مقیاس با شکل‌ها و ابعاد متفاوت از جمله صفر بعدی (0D) نانو ذرات، یک بعدی (1D) نانو لوله، نانو سیم و نانو میله، دو بعدی (2D) نانو صفحه‌ها و سه بعدی (3D) نانوگل‌ها^۱ و نانوساختارهای خارپشت مانند با استفاده از روش‌های مختلف سنتز شده‌اند.

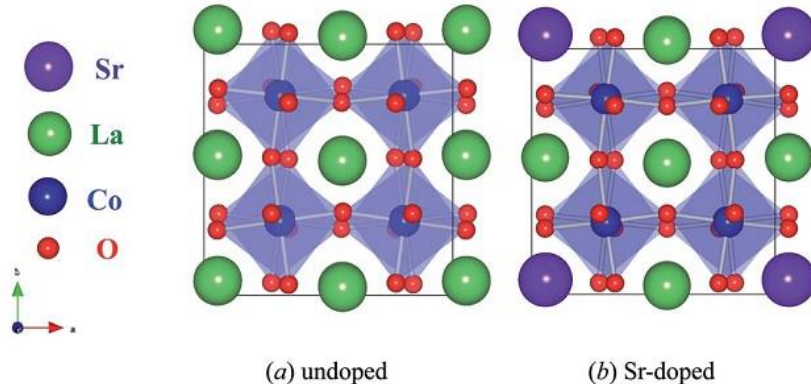
۴-۲ لایه‌های نازک اکسید استرانسیم لانتانیم کبالت

کبالت لانتانیم آلایش شده با استرانسیم با فرمول کلی $\text{La}_{1-x}\text{Sr}_x\text{CoO}_3$ (LSCO) داری ساختار پروسکایت^۲ می‌باشد. این مواد دارای ساختار هشت وجهی می‌باشد که در شکل ۴-۲ (الف) LaCoO_3 خالص و ب) LaCoO_3 آلایش شده با Sr نشان داده شده است. با توجه به خواص رسانایی یونی عالی کبالتیت‌ها این مواد به کاندید خوبی برای سلول‌های سوختی، راکتور الکتروشیمیایی، دستگاه‌های حافظه فروالکتریک [۴۱ و ۴۲] و کاتالیزور برای اکسیداسیون تولوئن [۴۳] و... تبدیل شده است. در طول دو دهه گذشته، رشد روآرستی از پروسکایت‌های مختلف به صورت لایه‌های نازک اکسیدی به روش لایه نشانی آلی-فلزی (MOD)^۳ مورد بررسی قرار گرفته است.

¹nanoflowers

²perovskite

³metal organic deposition



شکل ۴-۲: ساختار هشت وجهی کپالت لانتانیم آایش شده با استرانسیم [۴۴].

۵-۲ مقالات بر مروی

۲-۵-۱ رسانندگی الکتریکی در لایه‌های نازک ZnO

چینچی لین و همکاران [۷] فرآیندهای رسانش الکتریکی را در لایه‌های نازک اکسید روی تک بلور که با استفاده از روش هیدروترمال رشد داده شده‌اند و همچنین در لایه‌های نازک اکسید روی بسیاری که با استفاده از روش لایه نشانی کندوپاش rf استاندارد روی سطوح شیشه‌ای تهیه شده‌اند در محدوده دمایی ۲۰-۵۰۰K مورد بررسی قرار داده‌اند.

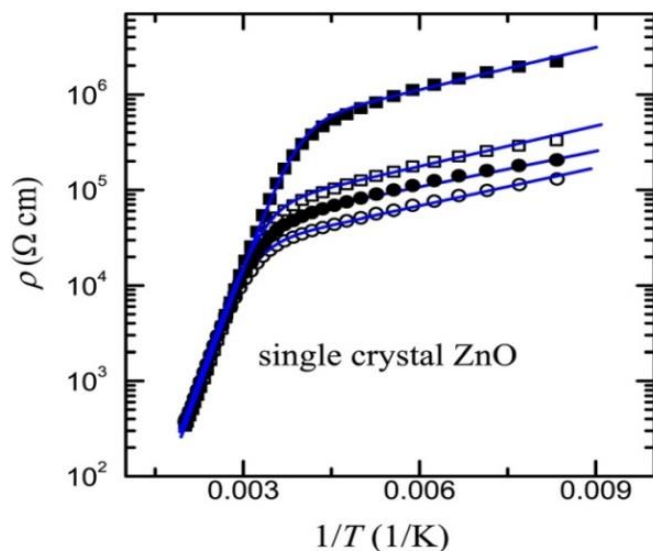
شکل ۱-۵ تغییرات مقاومت ویژه (ρ) را بر حسب دما در لایه‌های نازک ZnO تک بلور در بازه دمایی ۱۱۰-۵۰۰ K نشان می‌دهد در این شکل نمونه‌های رشد یافته قبل و بعد از چرخه گرمایی نشان داده شده است. در این محدوده دمایی فوق‌الذکر داده‌ها را با به کاربردن سازوکار رسانش فعال سازی گرمایی^۱ (معرفی شده در فصل اول، بخش ۲-۵) تحلیل کرده‌اند (شکل ۲-۵). انرژی فعال‌سازی گرمایی بدست آمده را در ناحیه دمایی بالا (E_1) و ناحیه دمایی پایین (E_2) به ترتیب به وجود بخشندۀ‌های کم

¹ thermal activation energy

عمق ونسبتاً عمیق که با افزایش دما به نوار رسانش برانگیخته می‌شوند نسبت می‌دهند. انرژی‌های فعال‌سازی گزارش شده در جدول ۲-۲ نشان داده شده است. با اندازه گیری مقاومت الکتریکی (ρ) تک بلور پس از تکرار چرخه گرمایی در خلا، تهی جاهای اکسیژن را به عنوان دهنده‌های کم عمق معرفی کرده‌اند.

جدول ۲-۲: مقادیر انرژی فعال‌سازی گرمایی مربوط به ناحیه دمایی بالا و پایین.

Single crystal	ρ (300 K) ($\Omega \text{ cm}$)	ρ_1 ($\Omega \text{ cm}$)	E_1 (meV)	ρ_2 ($\Omega \text{ cm}$)	E_2 (meV)
As-grown	5.45×10^4	0.144	334	1.47×10^5	29.2
First-cycled	4.56×10^4	0.154	330	2.50×10^4	28.1
Second-cycled	2.70×10^4	0.145	332	1.72×10^4	24.7
Third-cycled	2.01×10^4	0.125	337	1.02×10^4	26.4



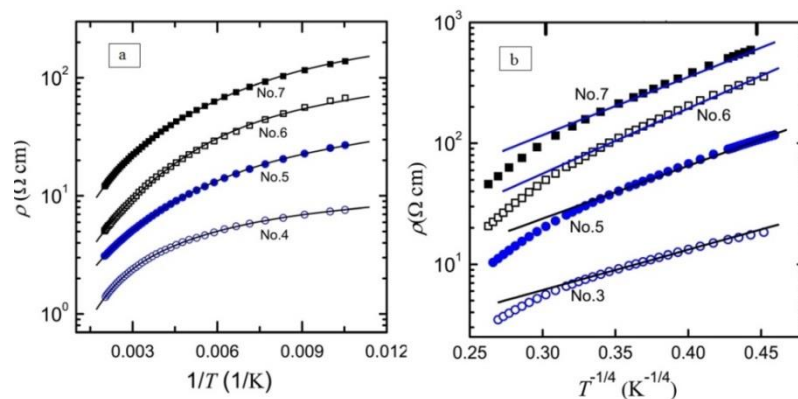
شکل ۲-۵: داده‌های تجربی مربوط به اکسید روی تک بلور رشد یافته به روش هیدروترمال که با سازوکار رسانش فعال‌سازی گرمایی تحلیل شده است که در این شکل نمونه رشد یافته قبل از چرخه گرمایی با مربع توپر و نمونه رشد یافته بعداز اول، دوم و سومین چرخه گرمایی با مربع توخالی، دایره توپر و دایره توخالی نشان داده شده است. [۷]

در مورد فیلم های بس بلوری (شکل ۲-۶)، در بازه دمایی $150\text{--}500\text{ K}$ داده ها را با فرآیند رسانش فعال سازی گرمایی (معرفی شده در فصل اول، بخش ۵-۲) تحلیل کردند شکل ۲-۶-الف). انرژی های فعال سازی بدست آمده را به بخشنده های کم عمق و بخشنده های نسبتاً عمیق نسبت داده اند. مقادیر انرژی فعال سازی گزارش شده در جدول ۳-۲ آورده شده است.

جدول ۳-۲: مقادیر انرژی فعال سازی گرمایی مربوط به ناحیه دمایی ۱ و ۲ و ۳.

Film No.	O ₂ flux (SCCM)	ρ (300 K) ($\Omega \text{ cm}$)	ρ_1 ($\Omega \text{ cm}$)	E_1 (meV)	ρ_2 ($\Omega \text{ cm}$)	E_2 (meV)	ρ_3 ($\Omega \text{ cm}$)	E_3 (meV)
2	0.02	1.66	0.079	120	1.89	35.5	2.63	2.3
3	0.10	2.72	0.407	113	0.758	39.2	5.00	3.1
4	0.15	2.01	0.189	135	1.30	37.5	5.88	2.8
5	0.25	5.89	0.420	135	2.70	26.3	370	5.7
6	0.50	11.3	0.588	129	4.79	27.0	333	5.6
7	0.80	26.0	2.04	121	9.09	37.7	100	4.3

در کاهش بیشتر دما تا زیر دمای 80 K فرآیند رسانش جهش برد متغیر مات (معرفی شده در فصل اول، بخش ۵-۲) مشاهده کرده اند (شکل ۲-۶-ب) و مقادیر دمای مشخصه و چگالی سطح فرمی گزارش شده در جدول ۴-۲ آورده شده است.



شکل ۲-۶: داده های تجربی مربوط به اکسید روی بس بلوری که با دو سازو کار: (a) رسانش فعال سازی گرمایی و (b) جهش برد متغیر مات تحلیل شده است [۷].

جدول ۴-۲: مقادیر دمای مشخصه T_M ، چگالی سطح فرمی ($N(E_F)$)، نسبت فاصله متوسط جهش‌ها به طول جایگزینده ζ/R و W انرژی متوسط جهش‌های تخمین زده با سازوکار جهش برد متغیرمات.

Film No.	ρ_{M_0} ($\Omega \text{ cm}$)	T_M (K)	$N(E_F)$ ($\text{J}^{-1} \text{ m}^{-3}$)	$\frac{\bar{R}_{\text{hop,Mott}}}{\zeta}$	$\bar{W}_{\text{hop,Mott}}$ (meV)
2	1.36	65	2.5×10^{48}	$1.07/T^{1/4}$	0.98
3	0.61	3510	4.6×10^{46}	$2.89/T^{1/4}$	2.64
4	1.41	854	1.9×10^{47}	$2.03/T^{1/4}$	1.85
5	1.15	10400	1.6×10^{46}	$3.79/T^{1/4}$	3.35
6	1.36	23600	6.9×10^{45}	$4.65/T^{1/4}$	4.14
7	4.18	15200	1.1×10^{46}	$4.16/T^{1/4}$	3.68

بیسوس و همکاران [۸] لایه‌های نازک ZnO نوع-p آلایش شده با As (آرسینیک) که به روش MOCVD^۱ رشد داده شده و به دنبال آن بر روی سطح‌های نیمه عایق GaAs بازپخت گرمایی شده اند را مورد بررسی قرار داده اند. به منظور مطالعه وابستگی تراپری بار به غلظت آلایش، تراکم حامل‌ها را در نمونه‌ها توسط دمای مختلف بازپخت پس از لایه نشانی تغییر داده‌اند. فیلم‌های آلایش شده رسانندگی نوع-p در دمای اتفاق را نشان می‌دهد که نمونه‌های A، B و C به ترتیب در دمای ۶۵۰°C و ۷۰۰°C و ۷۵۰°C در محیط اکسیژن بازپخت شده اند. با بررسی وابستگی دمایی مقاومت ویژه الکتریکی در لایه‌ها، رسانندگی dc در محدوده دمایی ۱۰۰-۳۰۰K را اندازه گرفته اند (شکل ۷-۲). در دماهای پایین تر انتقال نوع-جهش برد متغیر مات (MVRH) و در دماهای بالاتر رسانش نوع-فعال سازی گرمایی (TA) نوار رسانش، سازوکار‌های غالب اند. مقادیر انرژی فعال‌سازی گزارش شده در جدول ۵-۲ آورده شده است

^۱ Metal Organic Chemical Vapor phase Depostion

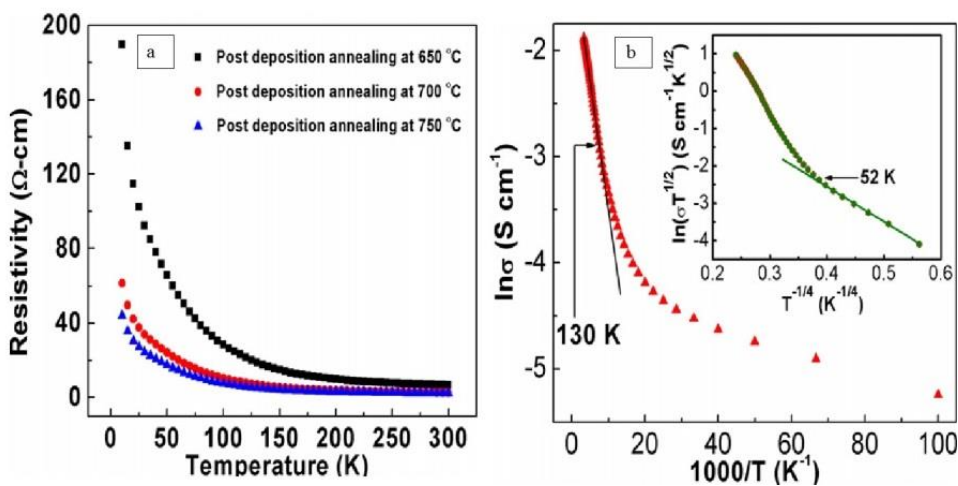
جدول ۲-۵: مقادیر انرژی فعال سازی گرمایی برای نمونه های A، B و C.

Sample	Hole concentration (cm^{-3})	Temperature range		Activation energy for TA band conduction (meV)
		TA band conduction	Mott VRH conduction	
A	4.5×10^{18}	130–300 K	10–52 K	167
B	2.8×10^{19}	116–300 K	10–41 K	142
C	5.7×10^{19}	110–300 K	10–35 K	134

آلایش As به جای اتم های Zn در لایه نازک ZnO باعث ایجاد ترازهای ناخالصی در بالای نوار طرفیت می گردد. این امر می تواند انتقال حامل های بار از طریق جهش برد متغیر مات در دماهای نسبتاً پایین را تسهیل کند. مقادیر پارامترهای دمای مشخصه، چگالی سطح فرمی، انرژی جهش ها و فاصله متوسط جهش های تخمین زده در جدول ۶-۲ آورده شده است.

جدول ۶-۲: مقادیر چگالی سطح فرمی ($N(E_F)$ ، فاصله متوسط جهش ها R و W انرژی متوسط جهش های تخمین زده با سازو کار جهش برد متغیر مات.

Sample	$N(E_F)$ ($\text{cm}^{-3} \text{ eV}^{-1}$)	R (cm)	W (meV)	αR
A	1.06×10^{24}	3.51×10^{-8}	5.2	4.5
B	1.23×10^{25}	1.19×10^{-8}	11.5	10
C	4.62×10^{25}	0.81×10^{-8}	8.2	8.2



شکل ۷-۲: (الف)دادهای تجربی مربوط به ZnO آالایش شده با As در دمای بازپخت متغیر(ب)نمونه A با که با دوسازوکار رسانش فعال سازی گرمایی و جهش برد متغیر مات تحلیل شده است [۸].

رامبو و همکاران [۹] رسانندگی الکتریکی را در لایه‌های نازک اکسید روی (ZnO) آالایش شده با (۴۳۰ K-۳۰۰ K وزنی) که با استفاده از روش جانشانی دورانی^۱ تهیه شده است در محدوده دمایی ۸-۲ نمودار نیم لگاریتمی رسانندگی الکتریکی برحسب عکس دما برای مورد بررسی قرار دادند. شکل ۷-۲ نمودار نیم لگاریتمی رسانندگی الکتریکی برحسب عکس دما برای نمونه‌های (Fe:ZnO,10%) Z.F.4 و (Fe:ZnO,8%) Z.F.3، (Fe:ZnO,6%) Z.F.2، (ZnO) Z.F.1 را نشان می‌دهد. با افزایش میزان آهن، اندازه بلور از \AA ۱۹۶ به \AA ۲۵۵ افزایش می‌یابد و نتایج XPS نشان می‌دهد که هر دو یون Fe^{3+} و Fe^{2+} جایگزین Zn^{2+} در فیلم‌های تهیه شده می‌شود. از لحاظ تئوری، رسانندگی الکتریکی باید برای لایه‌ها با اندازه دانه‌های بزرگتر افزایش یابد اما در این مورد نمونه‌های ZnO آالایش شده با Fe حتی با افزایش دانه لایه، کاهش رسانندگی الکتریکی مشاهده شده است که مقدار رسانندگی الکتریکی ZnO با آالایش ناخالصی Fe تا دو برابر کاهش نشان داده است. که این کاهش را می‌توان به این واقعیت نسبت داد که هنگامی که یون‌های Fe در اکسید روی ترکیب

¹spin coating

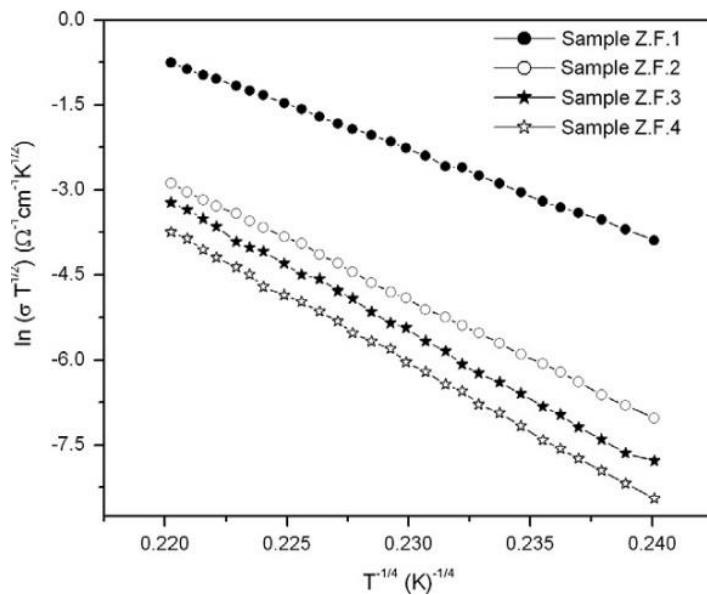
می‌شود، یون‌های Fe به عنوان دهنده‌های عمیق رفتار می‌کنند و غلظت دهنده‌های ذاتی را کاهش

می‌دهند.

وابستگی دمایی رسانندگی الکتریکی با استفاده از سازوکار جهش برد متغیر مات تحلیل شده است که این مدل بیانگر این است که رسانندگی از طریق جهش بین حالت‌های جایگزینیه امکان پذیر است. مقدار پارامترهای گزارش شده از جمله دمای مشخصه مات، چگالی سطح فرمی، انرژی جهش و فاصله جهش‌ها در جدول ۷-۲ آورده شده است.

جدول ۷-۲: مقادیر چگالی سطح فرمی ($N(E_F)$)، فاصله متوسط جهش‌ها R و W انرژی متوسط جهش‌های تخمین زده با سازوکار جهش برد متغیر مات.

Sample	T_0 (K)	$N(E_F)$ ($\text{cm}^{-3} \text{eV}^{-1}$)	R (cm)	W (eV)	αR
Z.F.1	6.35×10^8	2.92×10^{20}	1.47×10^{-7}	0.25	14.75
Z.F.2	1.95×10^9	9.52×10^{19}	1.95×10^{-7}	0.33	19.53
Z.F.3	3.15×10^9	5.89×10^{19}	2.20×10^{-7}	0.37	22.02
Z.F.4	3.28×10^9	5.66×10^{19}	2.22×10^{-7}	0.38	22.24



شکل ۸-۲: داده‌های تجربی مربوط به اکسید روی آلایش شده با Fe که با سازوکار MVRH تحلیل شده است [۹].

۲-۵-۲ رسانندگی الکتریکی در لایه‌های نازک CuO

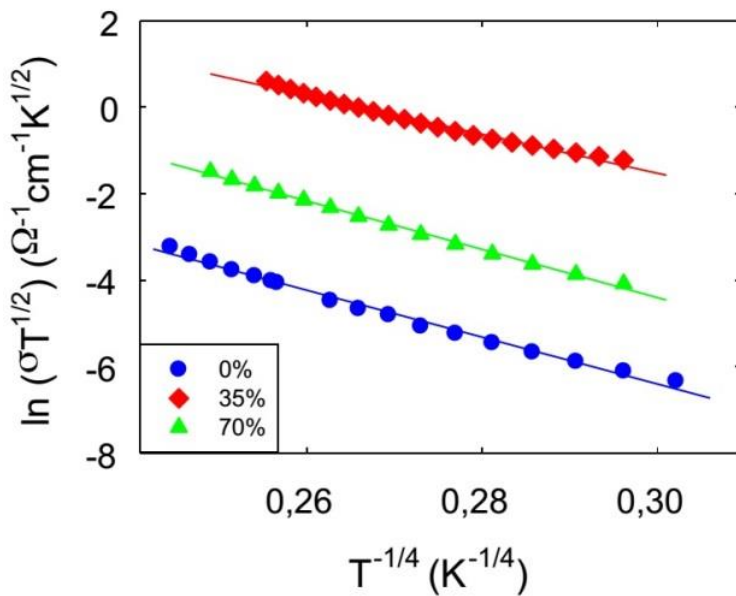
سیرین و همکاران [۱۰] خواص الکتریکی لایه‌های نازک اکسید مس (CuO) آلایش شده با اکسیژن سیرین و همکاران [۱۰] خواص الکتریکی لایه‌های نازک اکسید مس (CuO) آلایش شده با اکسیژن (٪ ۳۵، ۰٪ ml/s) که با روش کندوپاش مگنترون روی سطح شیشه تهیه شده‌اند مورد بررسی قرار دادند (شکل ۹-۲). در شکل ۹-۲ رسانندگی الکتریکی با افزایش دما، افزایش پیدا کرده است که نشان دهنده رفتار نیمرسانای لایه‌های نازک CuO می‌باشد. مقدار رسانندگی الکتریکی لایه‌های CuO با میزان شار اکسیژن ۳۵٪-۷۰٪ نسبت به لایه با میزان شار اکسیژن ۰٪، بزرگتر است. که این افزایش رسانندگی با شار اکسیژن متفاوت برای لایه‌ها را به بهتر (زیاد) شدن چگالی سطح فرمی نسبت داده‌اند.

داده‌های رسانندگی الکتریکی لایه‌های CuO در محدوده دمایی ۲۶۰-۱۰۰ K را با استفاده از سازوکار رسانش از طریق جهش برد متغیرمات تحلیل کرده‌اند که این بدان معنی است که در این محدوده دمایی رسانش از طریق جهش حامل‌های بار در حالت‌های جایگزیده رخ می‌دهد. پارامترهای دمای مشخصه مات، چگالی سطح فرمی، انرژی جهش و فاصله جهش‌های تخمین زده با سازوکار جهش برد متغیرمات در جدول ۷-۲ آورده شده است. رابطه مستقیمی بین خواص الکتریکی با چگالی حالت (DOS)^۱ برقرار است. افزایش (E_F) موجب افزایش رسانندگی الکتریکی می‌شود، بنابراین می‌توان آن را دلیلی بر تغییر رسانندگی با شار اکسیژن برشمرد. مقدار (E_F) برای لایه CuO با میزان شار اکسیژن ٪ ۳۵ نسبت به دیگر لایه‌ها بیشتر است.

¹ Density Of State

جدول ۲-۲: مقادیر دمای مشخصه T_0 , چگالی سطح فرمی $N(E_F)$, فاصله متوسط جهش‌ها R_{hop} و انرژی متوسط جهش‌های تخمین زده با سازوکار جهش برد متغیرهای.

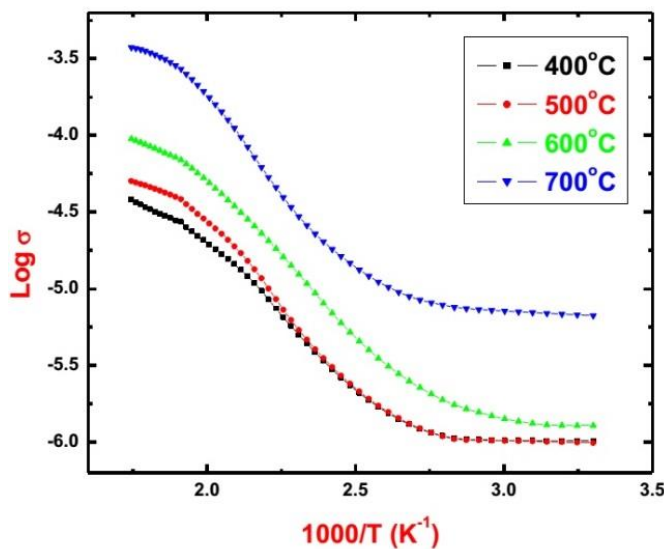
Oxygen flow rate	T_0 (K)	$N(E_F)$ ($\text{cm}^{-3} \text{eV}^{-1}$)	R_{hop} (nm)	W_{hop} (meV)
0%	$1.59 \times 10^7 \pm 35$	$2.82 \times 10^{21} \pm 10^6$	1.050 ± 0.041	72.44 ± 2.8
35%	$9.80 \times 10^6 \pm 40$	$4.57 \times 10^{21} \pm 10^6$	0.934 ± 0.042	64.23 ± 2.9
70%	$1.08 \times 10^7 \pm 6$	$4.16 \times 10^{21} \pm 10^6$	0.956 ± 0.026	65.76 ± 1.8



شکل ۲-۹: داده‌های تجربی مربوط به اکسید مس با میزان جریان اکسیژن متغیر [۱۰].

جاندل و همکاران [۱۶] خواص الکتریکی نانوبلور لایه‌های نازک اکسید مس (CuO) که با روش سل-ژل روی سطح‌های شیشه‌ای تهیه شده‌اند مورد بررسی قرار دادند (شکل ۲-۱۰). رسانندگی الکتریکی dc لایه‌های CuO به عنوان تابعی از دما در محدوده دمایی $300^\circ\text{C} - 600^\circ\text{C}$ اندازه گیری شد.

وابستگی دمایی رسانندگی الکتریکی دو ناحیه مجزا با دوسازوکار متفاوت را نشان می‌دهد. در ناحیه دمای پایین سازوکار جهش برد متغیر و در ناحیه دمای بالا با استفاده از معادله آرنیوس (معرفی شده در فصل ۱، بخش ۲-۵) داده‌ها تحلیل شده اند. انرژی فعال‌سازی انتقال الکتریکی لایه‌ها نازک CuO محاسبه شد که برای ناحیه دمای بالا که خود به دوناحیه تقسیم می‌شود با تغییر دمای بازپخت از 400°C در محدوده 600°C - 700°C گزارش شده است. جاندل و همکاران انرژی فعال‌سازی را به مرزدانه‌ها نسبت داده اند.



شکل ۱۰-۲: داده‌های تجربی مربوط به CuO با دمای بازپخت متغیر از 400°C - 600°C [۱۶]

رسانندگی الکتریکی در لایه‌های نازک

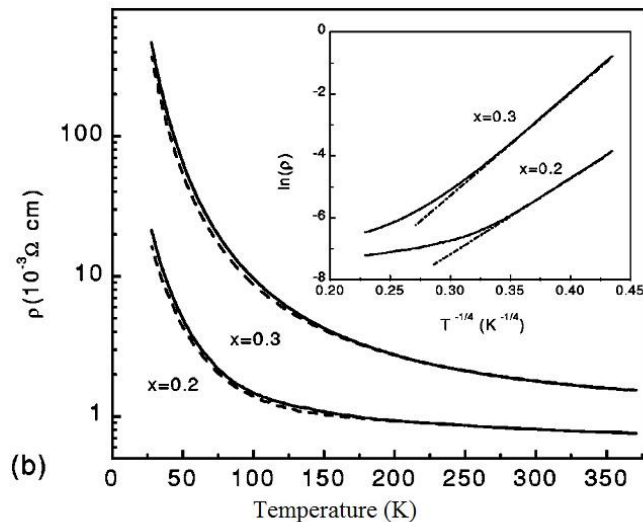
۳-۵-۲

یانگ سان و همکاران [۱۱] با اندازه گیری خواص الکتریکی اثر آلایش Fe در نمونه‌ها بسیاری بسیاری در [۱۱-۲]

تنهیه شده است در گستره‌ی دما ۳۷۰ K-۷۰ مورد بررسی قرار گرفت (شکل

۱۱-۲

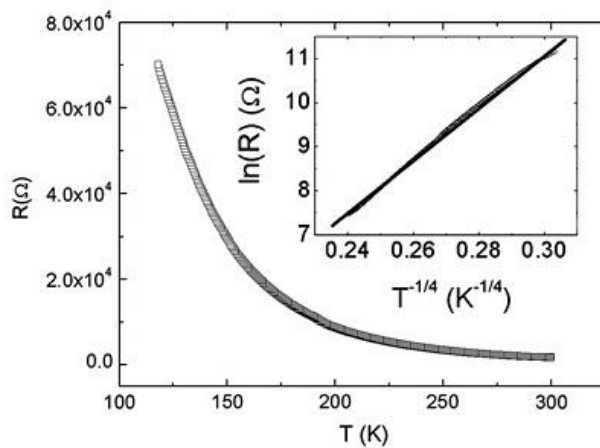
نمونه‌ها با آلایش پایین ($x=0.1$) رفتار فلزی از خود نشان می‌دهند در حالی که برای نمونه‌های با آلایش بالا ($x=0.2$ و $x=0.3$) رفتار نیمرسانا از خود نشان می‌دهند. برای نمونه‌ها با آلایش بالا به این نتیجه رسیدند که مقاومت الکتریکی نمونه‌ها با آلایش بالا در محدوده دما ۱۰۰ K-۳۰۰ K با مدل جهش برد متغیر مطابقت داد. T_0 تخمین زده با سازوکار جهش برد متغیر برای نمونه‌های آلایش شده با Fe با $x=0.3$ و $x=0.2$ به ترتیب $10^6 \times 15 \times 10^{-3}$ K-۳/۵۴ و $10^6 \times 10 \times 10^{-3}$ K-۳/۵۴ می‌گزارش شده است. مقدار T_0 برای نمونه با $x=0.2$ بیشتر است که این افزایش را به آلایش آهن (Fe) نسبت داده‌اند.



شکل ۱۱-۲: مقاومت الکتریکی بر حسب دما برای نمونه‌های $\text{La}_{0.67}\text{Sr}_{0.33}\text{CoO}_3$ آلایش شده با Fe [۱۱].

جين وهمکاران [۱۲] وابستگی دمایی مقاومت سطحی^۱ را برای ساختار ناهمگون^۲ لایه نازک که روی سطح Si نوع-n با روش پالس لیزری لایه نشانی شده است در محدوده دمایی ۳۰۰ K-۱۲۰ K را مورد بررسی قرار داده‌اند. همانطور که در شکل ۱۲-۲ مشاهده می‌شود لایه LSCO یک رسانندگی فلزی خوبی از خود نشان می‌دهد و رسانش (انتقال) به میزان اکسیژن خیلی حساس می‌باشد. رفتار رسانش نیمرسانای این لایه از تهی جای اکسیژن سرچشم می‌گیرد.

داده‌های مقاومت الکتریکی لایه LSCO را با سازوکار جهش برد متغیر (VRH) تحلیل کرده‌اند. همانطور که در شکل ۱۲-۲ دیده می‌شود در محدوده دمایی اندازه‌گیری شده، داده‌های مقاومت الکتریکی با سازوکار VRH به خوبی مطابقت یافته است. مقادیر پارامترهای دمای مشخصه و چگالی سطحی تراز فرمی به ترتیب $K = 1 \times 10^6$ و $\rho = 2.7 \times 10^{-3} \text{ cm}^{-3}$ گزارش شده است.



شکل ۱۲-۲: وابستگی دمایی مقاومت سطحی در لایه نازک LSCO [۱۲].

¹ In-plane resistance

² heterostructure

فصل سوم

بررسی نظری داده های تجربی

۱-۳ مقدمه

در این فصل به بررسی نظری داده های تجربی رسانندگی (مقاومت ویژه) الکتریکی در لایه های نازک نیمرسانا با استفاده از دو سازوکار فعال سازی گرمایی (TA) و جهش برد متغیر مات (VRH) می پردازیم . در بخش ۲-۳ در خصوص نحوه وابستگی دمایی رسانندگی الکتریکی فیلم های نازک $\text{La}_{0.7}\text{Sr}_{0.3}\text{CoO}_3$ را مورد بررسی قرار می دهیم . در بخش ۳-۳ به بررسی نحوه وابستگی دمایی مقاومت الکتریکی لایه های نازک CuO خالص و آلایش شده با روتنیوم (Ru) می پردازیم . در بخش ۳-۴ نحوه وابستگی دمایی رسانندگی الکتریکی لایه های نازک ZnO را تحلیل و مورد بررسی قرار داده ایم .

۲-۳ مطالعه نظری خواص الکترونیکی لایه های نازک $\text{La}_{0.7}\text{Sr}_{0.3}\text{CoO}_3$ در گستره دمایی

۳۲۰ K-۷۷

هدف ما در این تحقیق بررسی داده های تجربی دایودی و همکاران [۴۵ و ۴۶] در خصوص نحوه وابستگی دمایی در گستره دمایی ۳۲۰ K-۷۷ مقاومت ویژه الکتریکی لایه های نازک اکسید فلزی با ترکیب $\text{La}_{0.7}\text{Sr}_{0.3}\text{CoO}_3$ (LSCO) می باشد که با روش لایه نشانی آلی - فلزی^۱ (MOD) یک بار بر روی سطح تک بلور SrTiO_3 (STO) [۴۵] و بار دیگر نمونه ای بر سطح تک بلور LaAlO_3 (LAO) [۴۶] لایه نشانی شده است . روش تهیه لایه به این صورت می باشد که ابتدا محلول آغازین با ترکیب محلول رقیق شده فلز- نفتنتات^۲ با محلول تولوئن به منظور بدست آوردن ضخامت و چسبندگی لازم تهیه می شود . نسبت مولی La ، Sr و Co در محلول نهایی به ترتیب ۰/۷ ، ۰/۳ و ۱/۰ می باشد . این محلول روی سطح

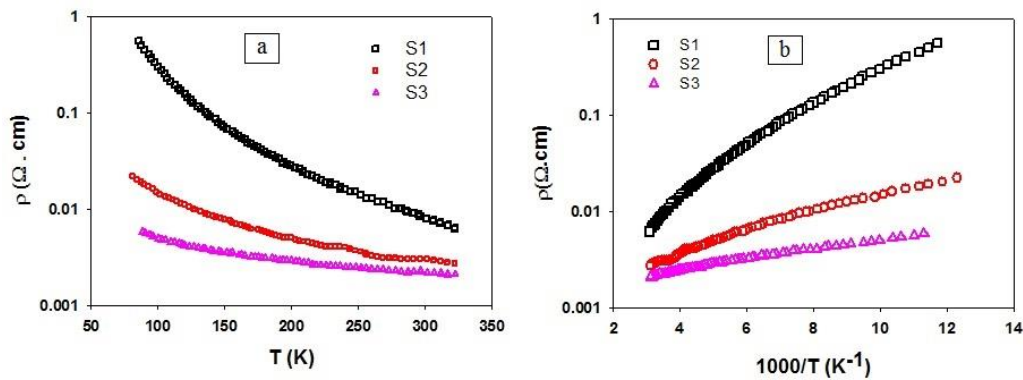
¹ metal-organic deposition

² metal-naphthenate

های تک بلور STO و LAO به روش جانشانی دورانی^۱ با سرعت چرخش ۴۰۰۰ rpm به مدت ۱۰ s انجام شده است. در انتهای این نمونه‌های رشد یافته بر روی زیر لایه STO [۴۵] در دماهای مختلف ۶۰۰ و ۷۰۰ °C (به ترتیب نمونه‌های S1، S2 و S3) بازپخت شده‌اند و نمونه لایه نشانی شده بر روی زیر لایه LAO [۴۶] در دمای ۶۰۰ (نمونه L) بازپخت شده‌اند. در ادامه به بررسی این نمونه‌ها پرداخته‌ایم.

الف: نمونه‌های رشد یافته بر روی زیر لایه STO

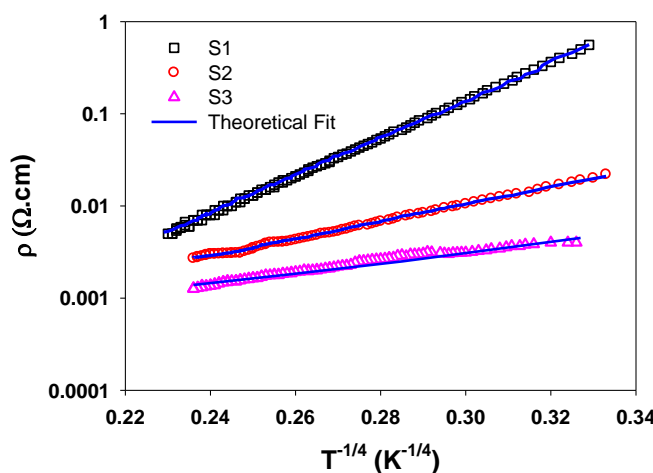
شکل ۳-۳ وابستگی دمایی مقاومت ویژه الکتریکی این نمونه‌ها که به روش چهار پایانه ای DC^۲ در گستره ۳۲۰ K تا دمای نیتروژن مایع (۷۷K) اندازه گیری شده‌اند در دو وضعیت $\rho \sim T$ و $\rho \sim 1000/T$ در نمودارهای نیم لگاریتمی نشان می‌دهد [۴۵].



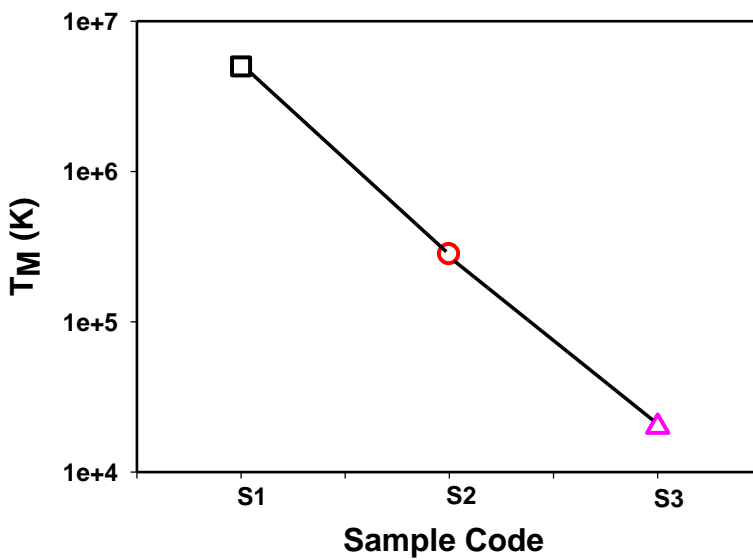
شکل ۳-۳: الف) وابستگی دمایی مقاومت الکتریکی و ب) مقاومت الکتریکی بر حسب عکس دما در فیلم‌های نازک [۴۵] LSCO

¹ spin coating
² DC four-probe

با توجه به گزارش دایودی و همکاران [۴۵] چنانچه پیداست مقاومت الکتریکی برای فیلم های LSCO به طور منظم با افزایش دما کاهش یافته اند که این کاهش نشانگر رفتار نیمرسانایی نمونه هاست. به منظور تحلیل این داده ها به روش چین چی لین [۷]، که در فصل ۱ بدان اشاره شد اقدام گردید. در این شیوه ابتدا لازم است شرایط وقوع تراپری به صورت جهشی با برد متغیر مات (MVRH) (معادلات ۱۱-۲ و ۱۲-۲) را در نمونه ها تحقیق نموده و چنانچه این شرایط برقرار نباشد از نظریه آرنیوس برای تراپری حاملها استفاده نماییم. اکنون در مرحله اول به بررسی شرایط لازم برای وقوع رسانندگی جهش برد متغیر از معادله ۱-۵ استفاده می کنیم. با برآذش داده ها در این معادله که انتظار می رود $\ln(\rho)$ با دما به صورت $T^{-1/4}$ تغییر یابد به کمک شیب مقدار پارامتر T_M را بدست می آوریم. تحلیل انجام شده در شکل ۳-۳ و نتایج بدست آمده در شکل ۳-۳ ارائه گردیده است. لازم به ذکر آنکه مقادیر بدست آمده برای دمای مشخصه نمونه های S1 و S2 با مقدار گزارش شده توسط پروخروف و همکاران [۴۷] برای ترکیب مشابه با این نمونه ها به صورت $\text{La}_{0.75}\text{Sr}_{0.25}\text{CoO}_3$ که برابر $K^{1/4} \times 10^5$ می باشد قابل قیاس می باشد.

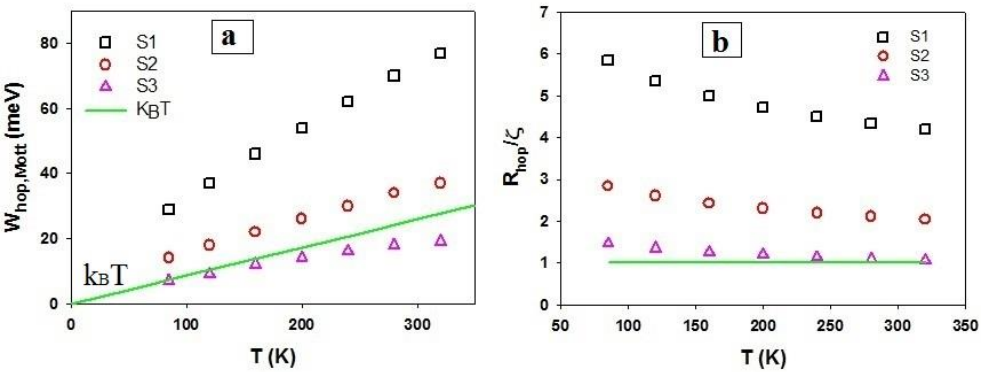


شکل ۳-۳: تغییرات لگاریتمی ρ بر حسب $T^{-1/4}$ برای نمونه های S1 و S2 و S3 خطوط سیاه نشانگر خطوط برآذشی بر مبنای نظریه مات (MVRH) می باشد.



شکل ۳-۳: تغییرات دمای مشخصه T_M برای نمونه های S1, S2, S3.

با معلوم شدن مقادیر T_M در نمونه ها (شکل ۳-۳) و قرار دادن آن در معادلات ۱-۷ و ۱-۱۰ میانگین انرژی جهش ها ($\bar{W}_{hop,Mott}$) و نسبت فاصله متوسط جهش ها به شعاع بوهر (ζ / R) را بر حسب دما بدست می آوریم (مقدار ζ برای لایه های نازک LSCO برابر با 68 nm گزارش شده است [۴۷]) شکل ۴-۳ حاصل این نتایج را نشان می دهد. اکنون با معلوم شدن این نتایج به بررسی شرط های لازم (معادلات ۱-۱۲ و ۱-۱۳) جهت تحقق نظریه جهشی حاملها می پردازیم. در شکل ۴-۳-الف با توجه به معادله (۱-۱۲) به منظور مقایسه W_{hop} با $k_B T$ نمودار تغییرات آن با خط خاکستری نشان داده شده است.



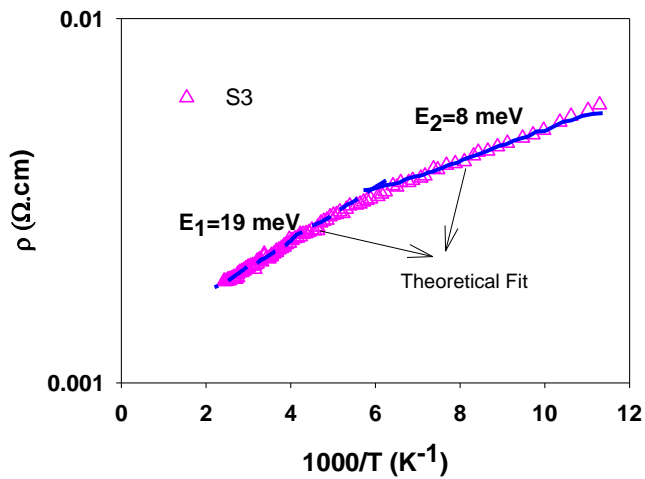
شکل ۴-۳: تغییرات: (الف) $W_{hop,Mott}$ و (ب) $\frac{R_{hop}}{\zeta}$ بر حسب دما برای نمونه های S1، S2 و S3.

چنانچه پیداست نمونه های S1 و S2 بخوبی از شرایط وابسته به وقوع ترابری جهشی پیروی کرده لیکن نمونه S3 شرایط را به صورت کامل برآورده نکرده و در نتیجه انتظار می رود در نمونه اخیر سازوکار حامل های آزاد با سازوکار رسانش آرنیوس (معادله ۱-۱۴) مرتبط باشد. قبل از تحلیل این نمونه، از آنجا که نمونه های S1 و S2 شرایط وابسته به وقوع ترابری جهشی را برآورده کرده اند می توان تراکم حامل های انرژی را در موقعیت تراز فرمی ($N(E_F)$) را برای این نمونه ها با استفاده از معادله ۱-۹ بدست آورد. نتایج بدست آمده در جدول ۱-۳ گزارش شده است. در خصوص نحوه تغییرات داده ها در شکل ۴-۳ می توان گفت، در شکل ۴-۳-الف شیب داده ها مثبت بوده که به معنای آن است که با افزایش دما انرژی جهش ها افزایش می یابند که امری منطقی است. از طرفی با توجه به نتایج بدست آمده در شکل ۴-۳-ب با افزایش دما شیب داده ها منفی است. به این معنی که با افزایش دما طول متوسط جهش ها رو به کاهش است. این موضوع با توجه به اینکه با افزایش دما به تراکم فونون ها افزوده شده و این به نوبه خود سبب افزایش احتمال پراکندگی حامل ها می گردد، نهایتاً سبب کاهش طول متوسط جهش ها خواهد شد. تغییرات متوسط فاصله جهش ها به میزان ناخالصی و شعاع بوهر بستگی دارد. مقادیر تغییرات مربوط $\bar{R}_{hop,Mott}$ و $\bar{W}_{hop,Mott}$ در گستره دمایی ۷۷-۳۰۰ K در ستون های ۳ و ۴ در جدول ۱-۳ ارائه گردیده است.

جدول ۳ : ۱-۳ در نمونه های S1, S2 و S3 .
 N(E_F) ، مقدار $\bar{R}_{hop,Mott}$ و $\bar{W}_{hop,Mott}$

نمونه	T_M (K)	$\bar{W}_{hop,Mott}$ (meV)	$\bar{R}_{hop,Mott}$ (nm)	$N(E_F)$ ($J^{-1}m^{-3}$)
S1	$5/00 \times 10^6$	۷۷-۲۹	۲/۸۵-۳/۹۷	$8/31 \times 10^{44}$
S2	$2/80 \times 10^5$	۳۷-۱۴	۱/۳۸-۱/۹۲	$1/48 \times 10^{46}$
S3	$2/00 \times 10^4$	۱۹-۷	۰/۷۲-۱	-

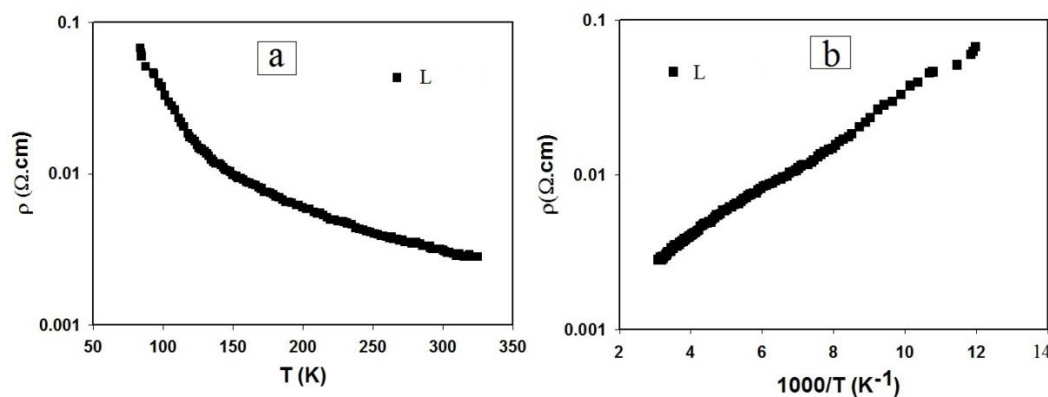
از آنجا که نمونه S3 از نظریه جهشی حامل ها تبعیت نمی کند بنابراین مدل کاربردی در این نمونه که از مقاومت ویژه کمتر (و یا رسانندگی الکتریکی بیشتر) برخوردار است از مدل برانگیختگی آرنیوس و رسانش حامل های آزاد (در نوار رسانش) (معادله ۱۴-۱) پیروی می کند. این نمونه در ناحیه دمایی ۷۷-۳۲۰ K دارای دو شیب متفاوت می باشد. به منظور تحلیل داده ها این گستره دمایی را به دو ناحیه دمایی بالا و پایین تقسیم بندی کردہ ایم. E_1 انرژی فعال سازی تراز ناخالصی مربوط به ناحیه دمایی بالا (K) ۳۲۵-۱۸۰ و E_2 انرژی فعال سازی تراز ناخالصی مربوط به ناحیه دمایی پایین (K ۱۸۰-۸۸) می باشد. انرژی های فعال سازی وابسته به ترازهای کم عمق و نسبتاً عمیق در S3 را به روش برآش داده ها از طریق کمینه سازی مجموع مربعات تعیین نمودیم. نتایج بدست آمده در شکل ۳-۵ نشان داده شده است. این نتایج نشانگر آن است که با افزایش دما از K ۷۷ ابتدا ترازهای انرژی واقع در انرژی meV ۸ می زیر لبه نوار ظرفیت برانگیخته شده و با رسیدن به محدوده دمایی بالاتر (T > ۱۵۰ K) برانگیختگی حامل ها واقع در تراز عمیق تر meV ۱۹ انجام گرفته است. این ترازها از ناکاملی های بلوری منشأ گرفته است.



شکل ۳-۵: تغییرات ρ بر حسب $1000/T$ برای نمونه S3. در این شکل خطوط نشان داده شده، خطوط برآذشی مبتنی بر نظریه آرنیوس می باشد.

ب) نمونه رشد یافته بر روی زیر لایه LAO

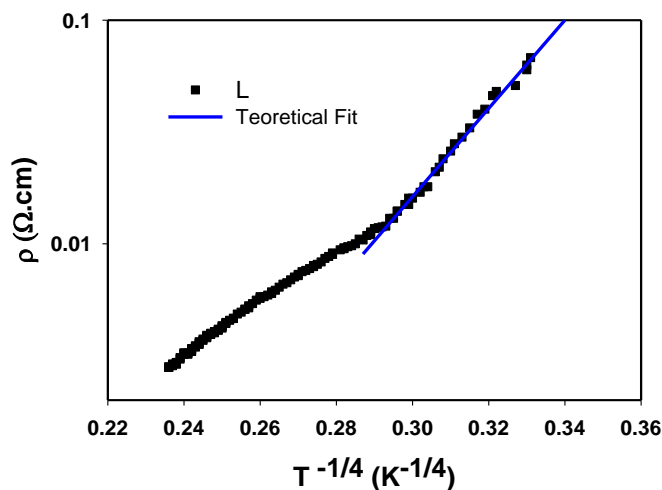
شکل ۳-۶ وابستگی مقاومت ویژه الکتریکی این نمونه که به روش چهار پایانه ای DC در گستره ۳۲۰ K تا دمای نیتروژن مایع (۷۷K) توسط دایودی و همکاران [۴۶] اندازه گیری شده اند در دو وضعیت $T \sim \rho$ و $\rho \sim 1000/T$ در نمودارهای نیم لگاریتمی نشان می دهد.



شکل ۳-۶: الف) وابستگی مقاومت الکتریکی و ب) مقاومت الکتریکی بر حسب عکس دما در فیلم های نازک [۴۶] LSCO

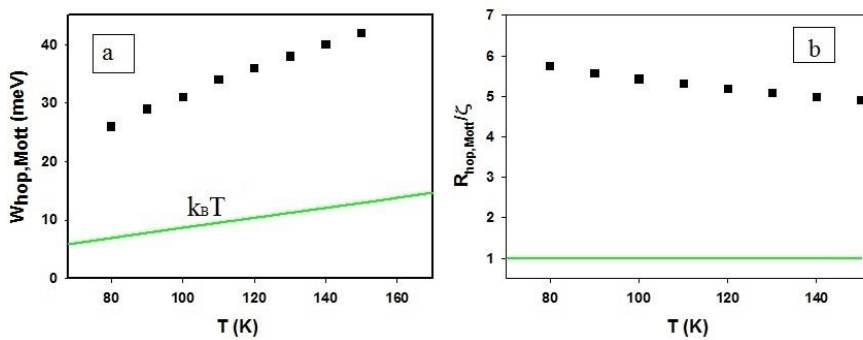
چنانچه پیداست مقاومت الکتریکی برای لایه LSCO به طور منظم با افزایش دما کاهش یافته اند که این کاهش نشانگر رفتار نیمرسانایی نمونه است. همانند بخش ۱-۵-۳ این داده همچنین نشان می‌دهد که تغییرات مقاومت ویژه دارای دو شیب متفاوت می‌باشد. ما این تغییرات را در دو ناحیه دمایی، ناحیه دمای پایین (77 K - 150 K) و ناحیه دمای بالا (150 K - 320 K) تقسیم‌بندی کرده ایم. انتظار می‌رود در ناحیه دماهای بالاتر رسانندگی الکتریکی لایه نازک LSCO توسط سازوکار رسانش فعال‌سازی گرمایی (TA) و در دماهای پایین‌تر رسانندگی از طریق جهش برد متغیر مات (MVRH) بین حالت های جایگزینه انجام گیرد.

در گستره دمایی پایین با برآش داده‌ها با معادله ۱-۵ انتظار می‌رود (ρ) با دما به صورت خطی با $T^{-1/4}$ تغییر یابد. به کمک شیب نمودار می‌توان مقدار پارامتر T_M را بدست آورد. تحلیل انجام شده در شکل ۷-۳ ارائه گردیده است و مقدار T_M برابر $4 \times 10^9\text{ K}$ بدست می‌آید.



شکل ۷-۳: تغییرات لگاریتمی ρ بر حسب $T^{-1/4}$ برای نمونه بازپخت شده در دمای 600°C . خط سیاه در این نمونه نشانگر برآشی نظری بر مبنای نظریه مات (MVRH) می‌باشد.

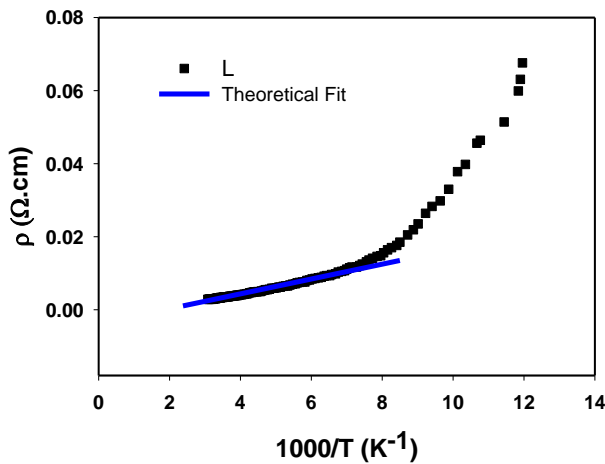
با معلوم شدن مقدار T_M در نمونه و قرار دادن آن در معادلات ۷-۱ و ۱۰-۱ می‌توان میانگین انرژی جهش‌ها و فاصله متوسط جهش‌ها را محاسبه کرد (شکل ۸-۳). اکنون با معلوم شدن این نتایج به بررسی شرط‌های لازم (معادلات ۱۲-۱ و ۱۳-۱) جهت تحقق نظریه جهشی حاملها می‌پردازیم شکل ۸-۳ الف و ب بترتیب تغییرات \bar{W}_{hop} (به همراه تغییرات $k_B T$) و ζ / \bar{R}_{hop} را بر حسب دما نشان می‌دهد.



شکل ۸-۳: تغییرات: (الف) $\bar{W}_{hop,Mott}$ و (ب) $\zeta / \bar{R}_{hop,Mott}$ بر حسب دما برای نمونه بازپخت شده در $600^{\circ}C$.

همانطور که از شکل ۸-۳ مشاهده می‌شود این نمونه شرط‌های لازم برای صدق نظریه VRH برآورده کرده است اکنون با توجه به صدق نظریه رسانایی جهشی الکترونی در این نمونه با استفاده از معادله ۹-۱ به تعیین تخمینی از تراکم حالت‌ها در محل تراز فرمی ($N(E_F)$) پرداختیم که مقدار بدست آمده $9 \times 10^{44} \text{ J}^{-1} \text{m}^{-3}$ می‌باشد.

برای تحلیل داده‌ها در این نمونه در ناحیه دمایی بالا از سازوکار انتقال فعال سازی گرمایی (معادله ۱۴-۱)) بهره برده و انرژی فعال سازی وابسته را در هر یک از نمونه‌های مورد بررسی به روش برآش داده‌ها از طریق کمینه سازی مجموع مربعات تعیین نمودیم. تحلیل انجام شده در شکل ۹-۳ ارائه گردیده است.



شکل ۹-۳: تغییرات ρ بر حسب $1000/T$ برای نمونه بازپخت شده در طبق دمای $600^{\circ}C$ در این شکل خط مستقیم نشان داده شده، نشانگر پیش بینی نظری مبتنی بر نظریه آرنیوس می باشد.

انرژی فعال سازی $31/67 \text{ meV}$ بدست آمد که مربوط به ترازهای ناخالصی که در گاف نواری ایجاد می شود، نسبت داد. این ترازها در اثر ناکاملی های بلوری از جمله جایگزینی اتم Sr بجای La در گاف نواری ایجاد شده اند [۴۴].

نتیجه گیری

در این بخش داده های وابستگی دمایی مقاومت و بیژه الکتریکی $\text{La}_{0.7}\text{Sr}_{0.3}\text{CoO}_3$ گزارش شده توسط دایودی و همکاران که بر روی زیر لایه LAO (S1,S2,S3) [۴۵] و زیر لایه STO (نمونه L) لایه نشانی شده است مورد تحلیل و بررسی قرار گرفت. نمونه های S1 و S2 را با استفاده از سازوکار جهش برد متغیر مات (MVRH) و نمونه S3 با استفاده از سازوکار فعال سازی گرمایی مورد تحلیل قرار دادیم. پارامترهای انرژی متوسط جهش ها، فاصله متوسط جهش ها در گستره دمایی مورد بررسی و چگالی

ترازها در سطح فرمی برای نمونه S1 و S2 و برای نمونه S3 انرژی فعال‌سازی محاسبه شد. نمونه L را در دماهای پایین با استفاده از سازوکار جهش برد متغیر مات و در دمای بالا با استفاده از سازوکار فعال‌سازی گرمایی مورد بررسی قرار دادیم. مقادیر پارامترهای انرژی متوسط جهش‌ها، فاصله متوسط جهش‌ها در گستره دمایی مورد بررسی، چگالی ترازها در سطح فرمی و انرژی فعال‌سازی را بدست آورده‌ایم.

با مقایسه نمونه L و نمونه S1 می‌توان نتیجه گرفت که تغییر نوع زیر لایه باعث تغییر چگالی ترازها در سطح فرمی شده است. چگالی ترازها در سطح فرمی برای نمونه L بیشتر از نمونه S1 می‌باشد که این می‌تواند دلیلی بر افزایش رسانندگی نمونه L نسبت به نمونه S1 باشد و همچنین نشان‌دهنده حساس بودن ترکیبات لایه به نوع زیر لایه می‌باشد.

۳-۳ مطالعه نظری خواص الکترونیکی لایه‌های نازک CuO خالص (آلیش نشده) و

آلیش شده با Ru با استفاده از داده‌های مقاومت الکتریکی در گستره دمایی ۳۱۰

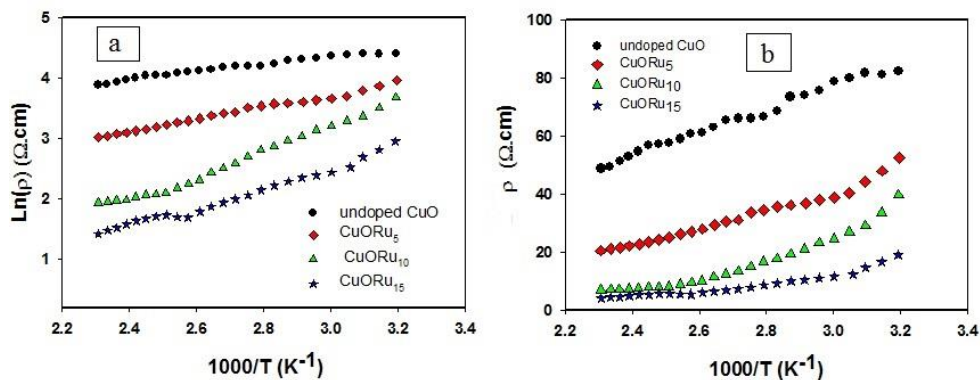
۴۳۰ K -

هدف ما در این تحقیق بررسی داده‌های تجربی شیخ و همکاران [۴۸] در خصوص نحوه وابستگی دمایی مقاومت الکتریکی لایه‌های نازک CuO خالص و آلیش شده با روتینیوم (Ru) در گستره دمایی بالا، ۳۱۰ تا ۴۳۰ کلوین، می‌باشد که با استفاده از محلول کلوریدی و به روش جانشانی دورانی^۱ برروی سطح فولاد لایه نشانی شده است. روش تهیه لایه به این صورت می‌باشد که ابتدا محلول کلوریدی CuO خالص (آلیش نشده) با حل g ۰/۰۵ استات مس در ml ۲۰ دی متیل فرمامید(DMF)^۲ با غلظت M ۰/۰۱۲۵ (محلول A) آماده شده و پس از آن در دمای °C ۱۲۰ برای ۲۰ دقیقه با همزدن مداوم با همزن مغناطیسی حرارت داده شده است. لایه نازک CuO آلیش نشده بروی سطح فولاد با روش جانشانی دورانی با سرعت چرخش rpm ۳۰۰۰ لایه نشانی شده است. محلول کلوریدی CuO آلیش شده Ru با حل g ۰/۰۲۸ کلرید روتینیوم (RuCl₂:6H₂O) در ml ۲۰ دی متیل فرمامید (DMF) به شکل M ۰/۰۱۲۵ (محلول B) آماده شده است. درصد حجمی (۱۵٪، ۱۰٪، ۵٪) محلول B در محلول A مخلوط شد. محلول یکنواخت کلوریدی CuO آلیش شده با Ru بعداز ۲۰ دقیقه آماده شد و سپس این محلول را در دمای °C ۱۲۰ برای ۲۰ دقیقه با همزدن مداوم با همزن مغناطیسی حرارت داده اند. فیلم های CuO آلیش شده با Ru بروی سطح فولاد با روش جانشانی دورانی با سرعت چرخش rpm ۳۰۰۰ لایه نشانی شده است که نمونه‌ها به ترتیب CuORu5، CuORu10 و CuORu15 نامگذاری شده‌اند.

¹ spin coating

² Dimethylformamide (DMF)

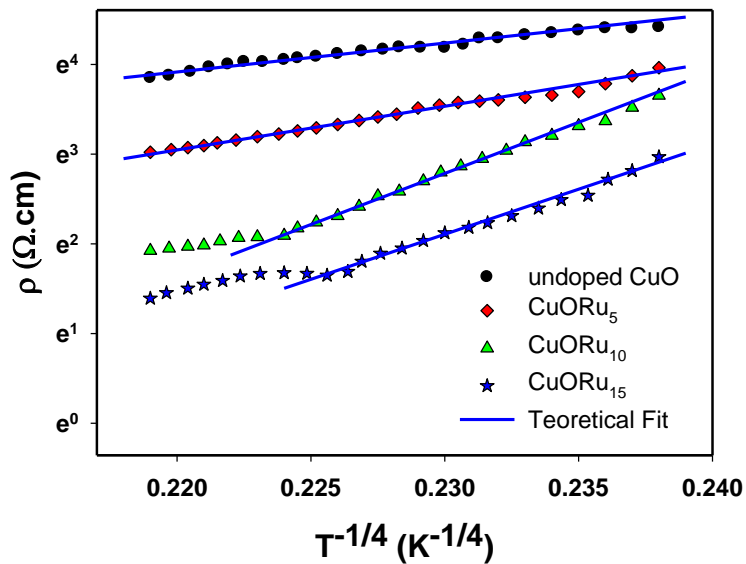
شکل ۱۰-۳ وابستگی دمایی مقاومت الکتریکی ($\ln(\rho)$) لایه های نازک CuO آلایش نشده و آلایش شده با Ru را در گستره دمایی ۳۱۰ تا K ۴۳۰ نشان می دهد. چنانچه پیداست مقاومت الکتریکی همه نمونه ها با افزایش دما کاهش می یابد که تاییدی بر خاصیت نیمرسانایی در این لایه هاست. برای تحلیل این داده ها از دو سازوکار عبارتند از سازوکار فعال سازی گرمایی که در آن از معادله آرینوس استفاده می شود و سازوکار دیگر وابسته به تراپری حاملها از طریق جهش برد متغیر مات. با توجه به تغییرات شبیب داده ها در برخی نمونه ها برای تحلیل آنها گستره دمایی را به دو ناحیه تقسیم بندی کرده ایم. ناحیه را به ناحیه دمایی پایین (۳۱۰ K-۴۳۰) و ناحیه دمایی بالا (۴۳۰ K-۴۷۰).



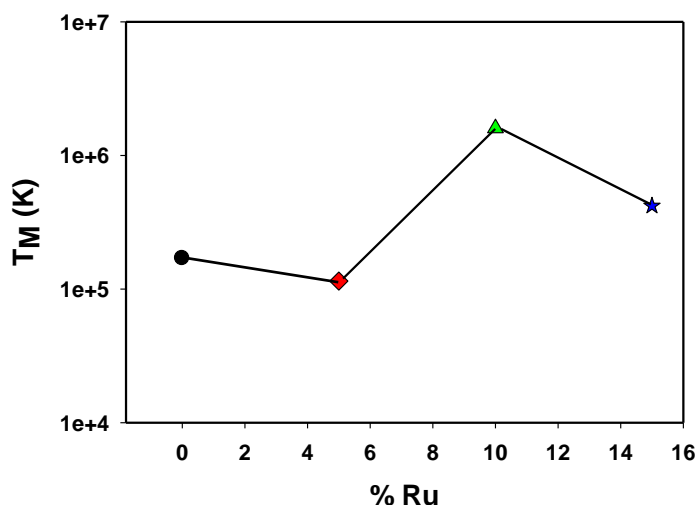
شکل ۱۰-۳: (الف) لگاریتم مقاومت الکتریکی و (ب) مقاومت الکتریکی بر حسب عکس دما در لایه های نازک خالص و آلایش یافته با RuO

با فرض صحت نظریه MVRH نمونه های مورد مطالعه در ناحیه دمایی پایین ، با برآش داده ها در این معادله که انتظار می رود $\ln(\rho)$ با دما به صورت خطی بر حسب $T^{-1/4}$ تغییر یابد به کمک شبیب

مقدار پارامتر T_M را بدست آوریم. تحلیل انجام شده در شکل ۱۱-۳ و نتایج بدست آمده مربوط به پارامتر T_M در شکل ۱۲-۳ ارائه گردیده است.

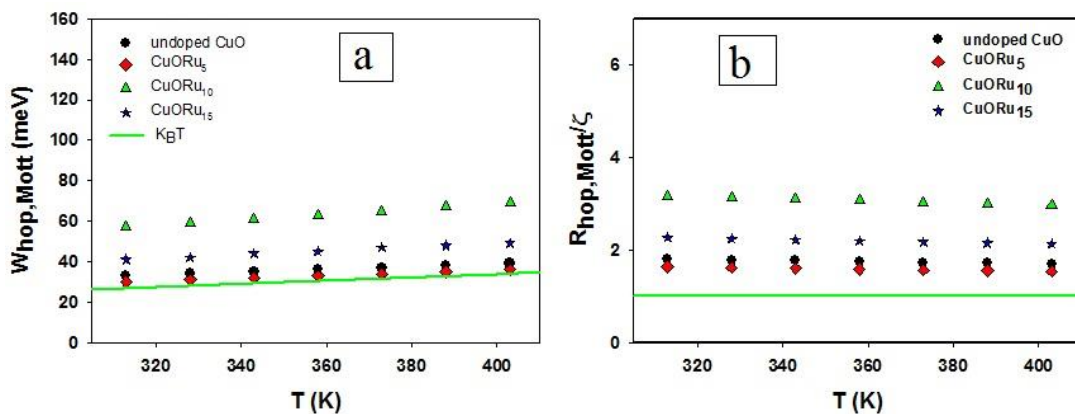


شکل ۱۱-۳: تغییرات ρ بر حسب $T^{-1/4}$ برای نمونه های CuO آلایش نشده و آلایش یافته با Ru با درصد های متفاوت. خطوط سیاه نشانگر پیش بینی نظری برآش شده در داده ها مبتنی بر نظریه MVRH می باشد.



شکل ۱۲-۳: تغییرات دمای مشخصه T_M بر حسب درصد آلایش Ru

با معلوم شدن مقادیر T_M در نمونه‌ها (شکل ۱۲-۳) و قرار دادن آن در معادلات ۷-۱ و ۱۰-۱ میانگین انرژی جهش‌ها و فاصله متوسط جهش‌ها محاسبه گردید. اکنون با معلوم شدن این نتایج به بررسی شرط‌های لازم (معادلات ۱۲-۱ و ۱۳-۱) جهت تحقق نظریه جهشی حاملها پرداخته‌ایم. شکل ۱۳-۳ الف و ب بترتیب تغییرات \bar{R}_{hop} را بر حسب دما نشان می‌دهد (مقدار ۷ برای \bar{W}_{hop} و نیز ۷ برای $\bar{W}_{hop,Mott}$ گزارش شده است [۱۰]). مقادیر تغییرات مربوط لایه‌های نازک CuO برابر با 167 nm ~ گزارش شده است [۱۰]. $\bar{R}_{hop,Mott}$ در گستره دمایی $310 \text{ K} - 370 \text{ K}$ در ستون‌های ۳ و ۴ در جدول ۲-۳ ارائه گردیده است.



شکل ۱۳-۳: تغییرات (الف) $R_{hop,Mott}$ و (ب) $\zeta / W_{hop,Mott}$ بر حسب T برای نمونه‌های CuO آلایش نشده و آلایش یافته با Ru با درصد های ۵، ۱۰ و ۱۵.

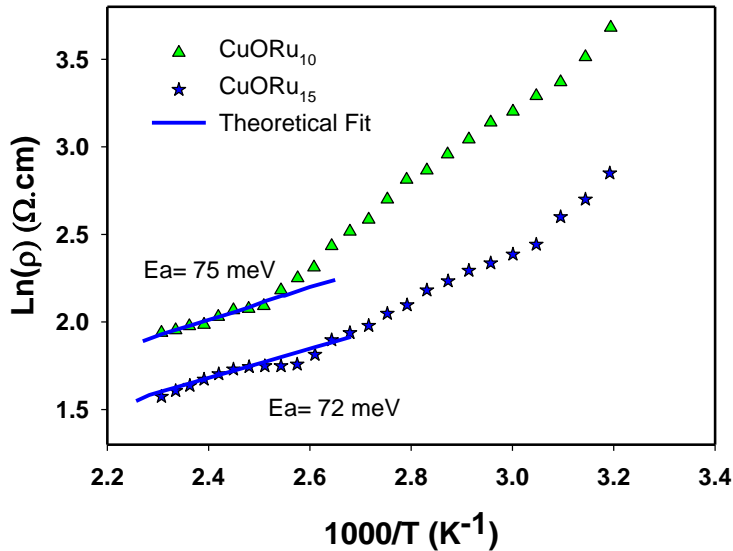
چنانچه پیداست نمونه‌های خالص (آلایش نشده)، CuORu_5 ، CuORu_{10} و CuORu_{15} بخوبی در شرایط وابسته به وقوع تراپری جهشی پیروی کرده‌اند. با توجه به صادق بودن تحلیل جهشی حاملها در این نمونه‌ها می‌توان تراکم حامل‌های انرژی در تراز فرمی ($N(E_F)$) را با استفاده از معادله ۹-۱ بدست آورد. نتایج بدست آمده در جدول ۲-۳ گزارش شده است.

جدول ۲-۳: آلایش شده Ru در نمونه‌های CuO و $N(E_F)$ ، مقادیر T_M در نمونه‌های CuO آلایش شده

نمونه	T_M (K)	$\bar{W}_{hop,Mott}$ (meV)	$\bar{R}_{hop,Mott}$ (nm)	$N(E_F)$ ($J^{-1}m^{-3}$)
Undoped CuO	$1/69 \times 10^5$	۳۷-۳۳	۰/۲۹-۰/۳۰	$1/68 \times 10^{48}$
CuORu ₅	$1/15 \times 10^5$	۳۳-۳۰	۰/۲۶-۰/۲۷	$2/43 \times 10^{48}$
CuORu ₁₀	$1/60 \times 10^6$	۶۵-۵۷	۰/۵۱-۰/۵۴	$1/75 \times 10^{47}$
CuORu ₁₅	$4/20 \times 10^5$	۴۶-۴۱	۰/۳۶-۰/۳۸	$6/67 \times 10^{47}$

با توجه به نتایج نشان داده شده در شکل ۱۲-۳، T_M با افزایش میزان درصد آلایش یک روند منظمی ندارد. از آنجا که T_M بر روی سایر پارامترهای جهش نیز تاثیر گذار است، افزایش دمای مشخصه T_M ، باعث افزایش میانگین انرژی جهش و کاهش چگالی ترازها و میانگین فاصله جهش‌ها می‌شود. این روند تغییرات را می‌توان در شکل ۱۳-۳ و همچنین جدول ۲-۳ به مشاهده کرد.

برای تحلیل داده‌ها در نمونه‌های CuORu₁₀ و CuORu₁₅ در ناحیه دمایی بالا از سازوکار انتقال فعال سازی گرمایی (معادله (۱۴-۱)) بهره برده ایم و انرژی فعال سازی وابسته را در هر یک از نمونه‌های مورد بررسی به روش برآش داده‌ها از طریق کمینه سازی مجموع مربوعات تعیین نمودیم. تحلیل انجام شده در شکل ۱۴-۳ ارائه گردیده است.



شکل ۱۴-۳: نمودار تغییرات $\ln(\rho)$ بر حسب $1000/T$ در نمونه های برای نمونه های CuO آلایش یافته با Ru با درصد های ۱۰ و ۱۵٪ و خط آبی، خط برازشی مبتنی بر نظریه آرینوس می باشد

انرژی فعال سازی برای نمونه CuORu_{10} و CuORu_{15} به ترتیب ۷۵ و ۷۲ meV بدست آمد که این انرژی ها مربوط به ترازهای ناخالصی کم عمق ایجاد شده در اثر آلایش Ru در بالای نوار ظرفیت می باشد. با افزایش ناخالصی Ru ، انرژی فعال سازی کاهش می یابد و قوع این پدیده می تواند ناشی از جایگزینی اتم های روتنیوم بجای اتم مس در شبکه باشد. مقادیر بدست آمده با مقادیر جاندل و همکاران همخوانی دارد [۱۶] (۹۰ meV-۷۵ meV). چنانچه از شکل ۱۴-۳ پیداست با اضافه شدن اتم های روتنیوم مقدار انرژی فعال سازی تراز کم عمق وابسته به برانگیختگی حامل ها در گستره دمایی بالا از ۷۲ meV به ۷۵ meV تغییر یافته است.

نتیجه گیری:

در این بخش وابستگی دمایی مقاومت الکتریکی نمونه‌های CuO خالص و آلایش شده با Ru که توسط شیخ و همکاران [۴۸] گزارش شده است مورد مطالعه قرار گرفت. لایه‌های مورد نظر با استفاده از محلول کلورئیدی و به روش جانشانی دورانی برروی سطح فولاد لایه نشانی شده‌اند. نمونه‌های CuO خالص و آلایش شده با Ru را با استفاده از دو سازوکار جهش برد متغیر مات (MVRH) و فعال‌سازی گرمایی مورد تحلیل و بررسی قرار گرفت. پارامترهای انرژی متوسط جهش‌ها، فاصله متوسط جهش‌ها در گستره دمایی مورد بررسی و چگالی ترازها در سطح فرمی و انرژی فعال‌سازی تخمین زده شد

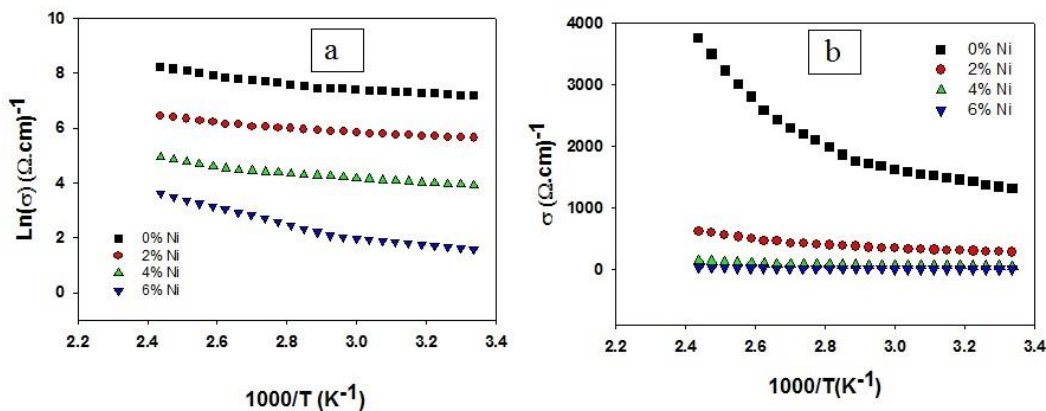
با مقایسه دو نمونه‌های CuO خالص و CuORu_5 مشاهده می‌شود چگالی ترازهای در سطح فرمی نمونه خالص نسبت به نمونه آلایش شده، کمتر و انرژی متوسط جهش‌ها و فاصله متوسط جهش‌ها، بیشتر است که این می‌تواند دلیل رسانندگی بیشتر نمونه آلایش شده نسبت به نمونه خالص باشد. همچنین با مقایسه دو نمونه CuORu_{10} و CuORu_{15} می‌توان رسانندگی بالای نمونه CuORu_{15} نسبت به CuORu_{10} را به بیشتر بودن چگالی ترازهای نمونه CuORu_{15} در سطح فرمی و کمتر بودن انرژی متوسط جهش‌ها و فاصله متوسط جهش‌های آن نسبت داد.

۴-۳ مطالعه نظری خواص الکترونیکی لایه ZnO

در این بخش لایه نازک اکسید روی را به دو بخش تقسیم کرده ایم که در بخش اول (۴-۳) و بخش دوم (۴-۴) به بررسی لایه های نازک اکسید روی که با ناخالصی نیکل آلایش شده می پردازیم.

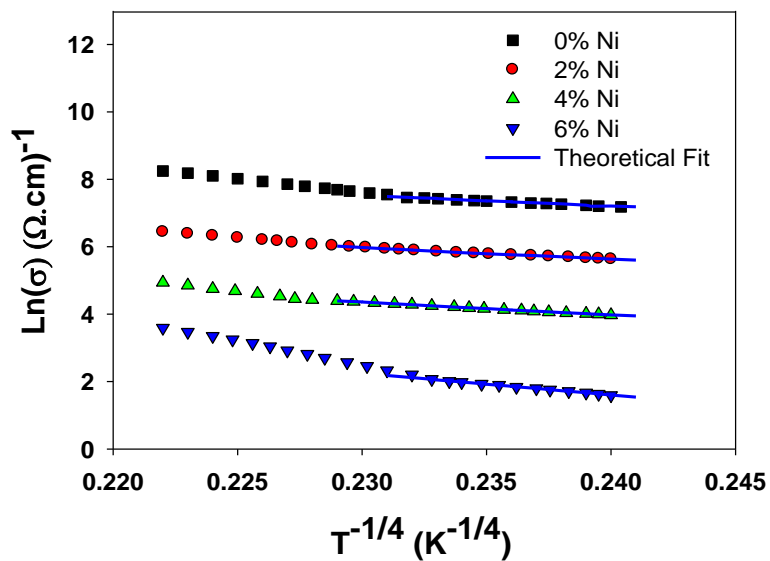
۱-۴-۳ مطالعه نظری خواص الکترونیکی لایه های نازک ZnO آلایش شده با Ni تهیه شده به روش کندوپاش

هدف ما در این تحقیق بررسی داده های تجربی ساها و همکاران [۴۹] در خصوص نحوه وابستگی دمایی رسانندگی الکتریکی لایه های نازک ZnO خالص و آلایش شده با نیکل با تراکم های ۲، ۴ و ۶ درصد اتمی در گستره دمایی (۳۰۰ تا ۴۱۰ K)، می باشد که بر روی شیشه به روش کندوپاش مگنترون در فرکانس رادیویی (RF) با استفاده از پلاسمای آرگون تهیه شده اند. شکل ۱۵-۳ وابستگی دمایی رسانندگی الکتریکی لایه های نازک ZnO خالص و آلایش شده را نشان می دهد. رسانندگی الکتریکی لایه های با آلایش نیکل کاهش پیدا می کند.

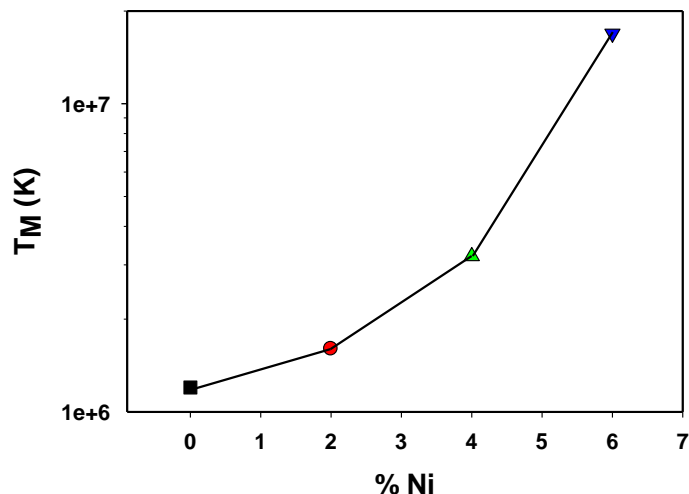


شکل ۱۵-۳: وابستگی دمایی رسانندگی الکتریکی در مقیاس های (الف) نیم لگاریتمی و (ب) خطی برای لایه های نازک ZnO خالص و آلایش یافته با Ni [۴۹].

این داده ها حاکی از آن است که در هر کدام از نمونه ها با افزایش دما رسانندگی الکتریکی لایه رو به افزایش گذارده است که تاییدی بر خاصیت نیمرسانایی در این نمونه هاست. ما با توجه به شبیه متفاوت این داده ها همچون چین چی لین [7] برای تحلیل داده ها از دو سازوکار مختلف در دو بازه دمایی K-۳۰۰ و K-۴۰۰ همچنین ۳۶۰ و ۳۶۰ استفاده کرده ایم. در دماهای بالاتر رسانندگی الکتریکی لایه های نازک ZnO خالص و آلایش شده به سازوکار رسانش فعال سازی گرمایی (TA) نسبت داده شده است و در دماهای پایین تر رسانندگی از طریق جهش برد متغیر (MVRH) بین حالت های جایگزینیه با انرژی فعال سازی کمتر از E_a وابسته است. نخست با برآش داده ها از طریق معادله (۱-۵) (انتظار می رود (۵) با دما به صورت $T^{-1/4}$ تغییر یابد. در این صورت به کمک شبیه نمودار اनطباق یافته می توان مقدار پارامتر T_M را بدست آوریم. تحلیل انجام شده شکل ۱۶-۳ و نتایج بدست آمده در شکل ۱۷-۳ ارائه گردیده است. لازم به ذکر آنکه مقادیر بدست آمده برای دمای مشخصه نمونه ها با مقدار گزارش شده توسط ساگار و همکاران [۵۰] برای لایه های نازک ZnO:Al (K-۴/۹۷×۱۰^۵-۴/۹۷×۱۰^۶) قابل قیاس می باشد. این نتایج حاکی از آن است که با افزایش درصد آلایش Ni، T_M افزایش پیدا می کند. از آنجا که T_M روی سایر پارامترهای جهش تأثیرگذار است افزایش دمای مشخصه T_M منجر به افزایش میانگین انرژی جهش و کاهش چگالی ترازها در سطح فرمی و میانگین فاصله جهش ها می شود.



شکل ۱۶-۳: تغییرات $\ln(\sigma)$ بر حسب $T^{-1/4}$ برای نمونه های ZnO خالص و آلایش یافته با Ni به همراه خط برآزشی مبتنی بر نظریه MVRH در هر کدام از نمونه ها.

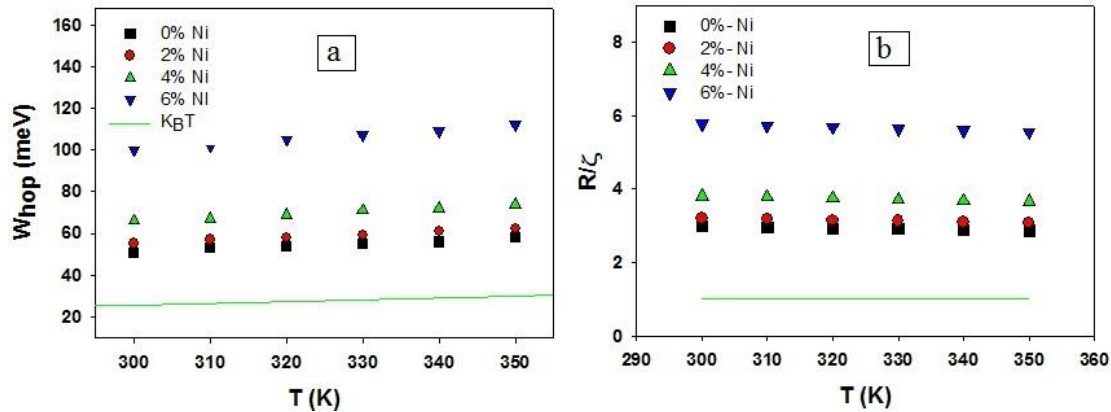


شکل ۱۷-۳: تغییرات دمای مشخصه T_M بر حسب درصد آلایش Ni

با معلوم شدن مقادیر T_M در این نمونه ها (شکل ۱۷-۳) و قرار دادن آن در معادلات ۱۰-۱ و ۷-۱ می توان میانگین انرژی جهش ها و فاصله متوسط جهش ها را محاسبه کرد. اکنون با معلوم شدن این

نتایج به بررسی شرط‌های لازم (معادلات ۱۲-۱ و ۱۳-۱) جهت تحقق نظریه جهشی حاملها پرداخته‌ایم.

شکل ۱۸-۳ الف و ب بترتیب تغییرات \bar{R}_{hop} و ζ / W_{hop} را بر حسب دما نشان می‌دهد (مقدار ζ برای لایه‌های نازک ZnO در حدود ۲ nm گزارش شده است [۷]). همانطور که در این شکل پیداست همه نمونه‌ها شرط‌های لازم برای صدق نظریه MVRH را در گستره دمایی ۳۰۰ K-۳۶۰ K برآورده کرده‌اند. اکنون با توجه به صدق نظریه رسانایی جهشی الکترونی در این نمونه‌ها با استفاده از معادله ۹-۱ به تعیین تخمینی از تراکم حالت‌ها در محل تراز فرمی ($N(E_F)$) پرداخته‌ایم نتایج این محاسبات در جدول ۳-۳ ارائه گردیده است. مقادیر تغییرات مربوط $\bar{R}_{hop,Mott}$ و $\zeta / W_{hop,Mott}$ در گستره دمایی ۳۰۰ K-۳۶۰ K در ستون‌های ۳ و ۴ در جدول ۳-۳ ارائه گردیده است.



شکل ۱۸-۳: تغییرات الف) $\zeta / W_{hop,Mott}$ و ب) $R_{hop,Mott}$ بر حسب دما برای نمونه‌های ZnO خالص و آلایش شده با Ni در گستره دمایی ۳۰۰ K-۳۶۰ K.

جدول ۳-۳: مقادیر $\bar{R}_{hop,Mott}$ ، $\bar{W}_{hop,Mott}$ ، $N(E_F)$ و T_M در گستره دمایی داده های گزارش شده.

نمونه	$T_M \times 10^4$ (K)	$\bar{W}_{hop,Mott}$ (meV)	$\bar{R}_{hop,Mott}$ (nm)	$N(E_F) (J^{-1}m^{-3})$
ZnO (pure)	۱/۲۰	۵۸-۵۱	۵/۹۶-۵/۷۴	$1/۳۶ \times 10^{۴۴}$
ZnO/Ni 2%	۱/۶۰	۶۲-۵۵	۶/۱۶-۶/۴۱	$1/۰۲ \times 10^{۴۴}$
ZnO/Ni 4%	۳/۲۰	۷۴-۶۶	۷/۳۳-۷/۶۲	$5/۰۹ \times 10^{۴۳}$
ZnO/Ni 6%	۱۶/۹	۱۱۲-۱۰۰	۱۱/۱۲-۱۱/۵۵	$9/۶۰ \times 10^{۴۲}$

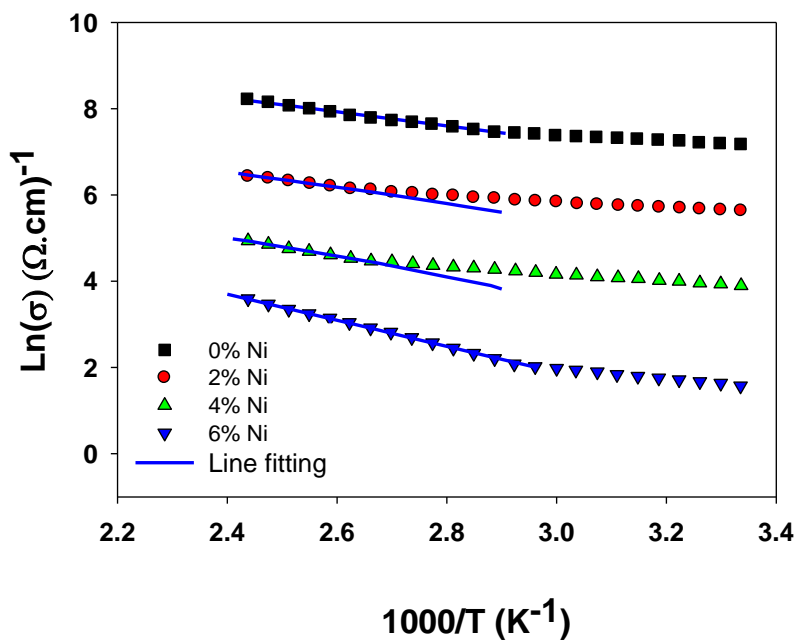
با توجه به شکل ۱۸-۳-الف مشاهده می شود که با افزایش دما انرژی جهش ها افزایش می یابد.

این تغییرات برای نمونه ها در بازه $51-126$ meV می باشد. با افزایش دما انتظار می رود با توجه به افزایش تراکم فونون های شبکه و در نتیجه افزایش احتمال پراکندگی حامل ها فاصله جهش ها (شکل ۱۸-۳-ب) کاهش یابد. تغییرات متوسط فاصله جهش ها برای نمونه ها در بازه $5/۵-11/۵$ nm می باشد.

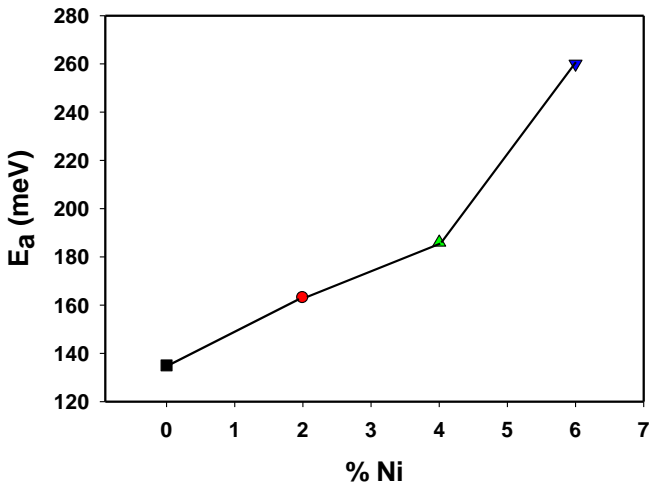
انرژی فعال سازی مربوط به ترازهای عمیق در گاف نواری ماده هستند. الکترون های جایگزینده E_a در این ترازها با افزایش دما به نوار رسانش برانگیخته شده و در رسانندگی مشارکت می کنند. به منظور یافتن موقعیت این ترازها و با کمک گرفتن از معادله $(14-1)$ در محدوده دمایی بالا (400 K- 360 K)، ارزی فعال سازی وابسته را در هر یک از نمونه های مورد بررسی به روش برآذش داده ها از طریق کمینه سازی مجموع مربعات تعیین شده است. تحلیل انجام شده در شکل ۱۹-۳ و نتایج بدست آمده در شکل ۲۰-۳ نشان داده شده است. این ترازها (کم عمق) می تواند عمدتاً متأثر از حضور ناکاملی های بلوری ناشی از تهیجا های اکسیژن و اتم های درون شبکه ای Zn باشد. لازم به ذکر است که برای نمونه خالص

مقادیر بدست آمده برای انرژی های فعال سازی در ناحیه دمایی ۲ بخوبی با مقادیر گزارش شده توسط چین چی لین و همکاران [۷] (135 meV - 113 meV) مطابقت دارد.

کاهش تراکم الکترون های آزاد بر اثر جایگزینی اتم های نیکل بجای تهییجاهاي اکسیژن در شبکه باشد [۵۱ و ۵۲]. اين جایگزینی می تواند از نقش اين مراکز به عنوان ترازهای بخشندۀ الکترونی جلوگیری کرده و در نتیجه از تراکم الکترون های آزاد در ماده بکاهد. چنانچه از شکل ۲۰-۳ پیداست با اضافه شدن اتم های نیکل مقدار انرژی فعال سازی تراز عمیق وابسته به برانگیختگی حامل ها در ناحیه دمایی ۲ (گستره دمایی بالا) از حدود 135 meV به 163 meV تغییر یافته است که می تواند نشانگر حضور تراز این ناخالصی افزوده شده باشد.



شکل ۱۹-۳: نمودار تغییرات $\ln(\sigma)$ بر حسب $1000/T$ در نمونه های ZnO خالص و آلایش شده با .Ni.



شکل ۲۰-۳: تغییرات انرژی فعال سازی بر حسب درصد آلایش Ni

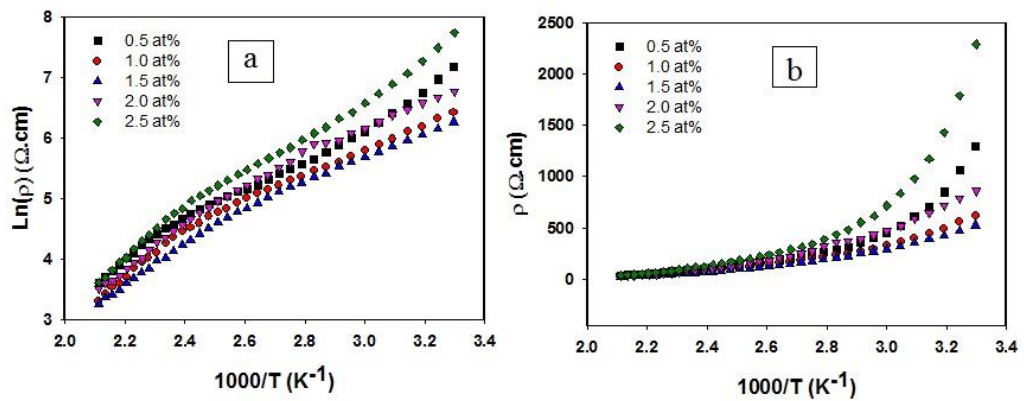
۴-۳-۲-مطالعه نظری خواص الکترونیکی لایه‌های نازک ZnO آلایش شده با % ۵-۰/۵ Ni

تهییه شده به روش اسپری پایرولیز

هدف ما در این تحقیق بررسی داده های تجربی پاتیل و همکاران [۵۳] درخصوص نحوه وابستگی دمایی مقاومت الکتریکی فیلم ZnO آلایش شده با Ni در گستره دمایی، ۳۰۰ تا ۴۷۰ K، می باشد که بر روی شیشه در دمای $^{\circ}C$ ۴۰۰ به روش تجزیه حرارتی اسپری^۱ و با استفاده از استاتات روی و نیکل نیترات (Ni(NO₃).6H₂O) به عنوان ماده آالینده با درصد های [Ni/Zn] ۰/۰۰، ۰/۰۵، ۰/۱، ۰/۱۵ و ۰/۲۵ لایه نشانی شده است. روش تهییه لایه ها به این صورت است که لایه های ZnO به روش اسپری بروی سطوح شیشه با استفاده از محلول استاتات روی $M/1$ (Zn(CH₃COO)₂.2H₂O) با آهنگ ۵ ml/min رشد داده شده است.

^۱ spray pyrolysis

در این تحقیق مقاومت الکتریکی نمونه‌ها به روش دو پایانه‌ای^۱ بر حسب تابعی از دما اندازه گیری شده است. شکل ۲۱-۳ وابستگی دمایی مقاومت الکتریکی لایه ZnO آلایش شده با Ni با درصدهای اتمی ۰/۵، ۱/۰، ۱/۵، ۲/۰ و ۲/۵ را در محدوده دمایی ۳۰۰ تا K ۴۷۰ نشان می‌دهد. مقاومت الکتریکی این لایه‌ها با آلایش Ni تا میزان ۱/۵٪ کاهش و برای درصدهای بالاتر افزایش می‌یابد. پاتیل و همکاران این افزایش را به تولید مرزدانه‌ها در اثر آلایش نیکل نسبت داده‌اند.



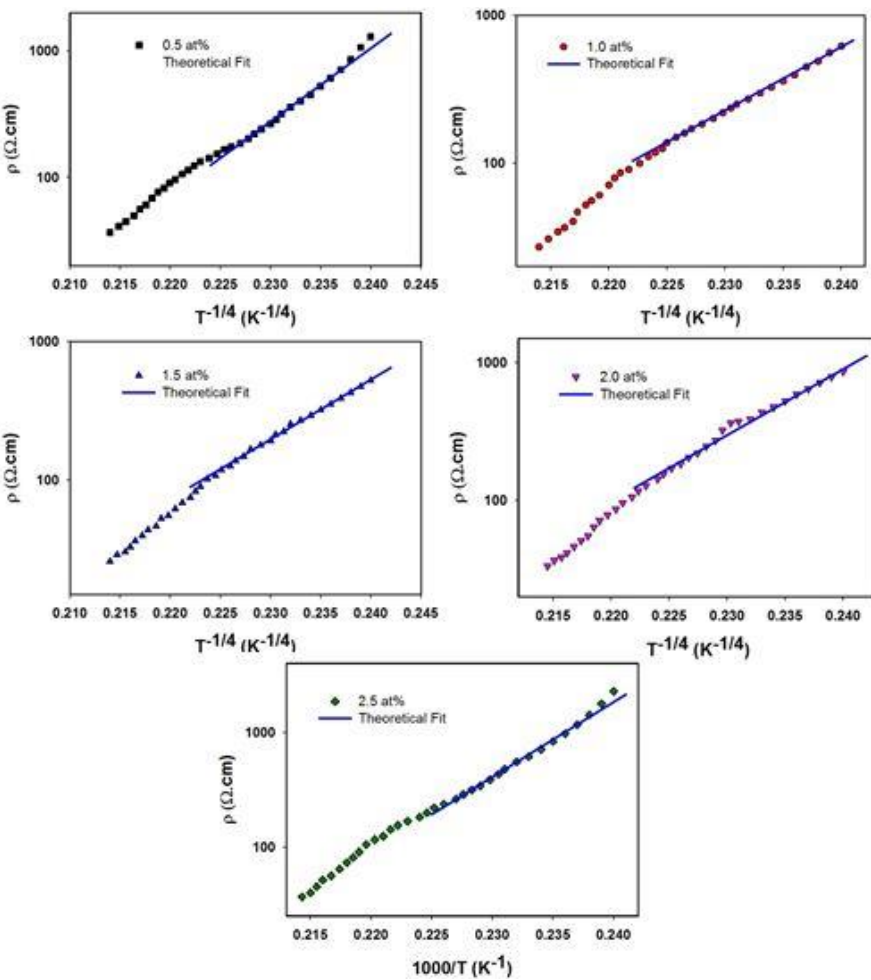
شکل ۲۱-۳: (الف) وابستگی دمایی لگاریتم مقاومت الکتریکی (ب) مقاومت الکتریکی بر حسب عکس دما در لایه‌های نازک ZnO آلایش یافته با Ni با درصدهای متفاوت [۵۳].

کاهش در مقاومت الکتریکی DC با افزایش دما رفتار نیمه هادی فیلم‌های نازک NZO را تایید می‌کند. در این مقاله پاتیل و همکاران داده‌های رسانندگی را با استفاده از سازوکار انتقال فعال سازی گرمایی ترازهای جایگزین الکترونی تحلیل کرده اند که انرژی فعال سازی با افزایش غلظت Ni تا ۰/۱۵٪ کاهش نشان داده که کمترین مقدار ۲۹۷۹ eV وسیس افزایش می‌یابد. پاتیل و همکاران در گزارش خود این تغییرات را متناظر با تغییر در ابعاد دانه‌ها نسبت داده‌اند.

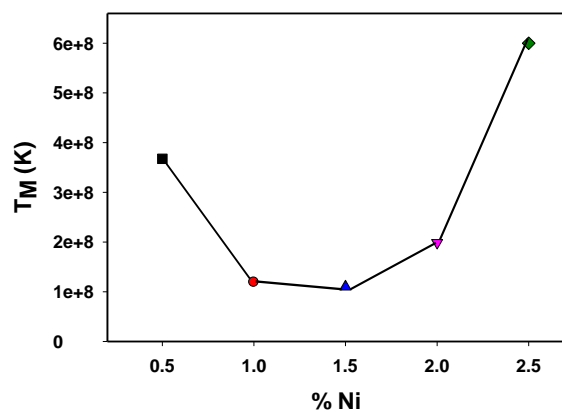
¹ two probe method

با توجه به داده‌های گزارش شده شکل ۲۱-۳ دو ناحیه (۴۷۰ K-۴۰۰ و ۴۰۰ K-۳۰۰) با شیب‌ها مختلف ملاحظه می‌شود. ما با مقایسه با مقاله رامبو و همکاران که در فصل ۱ به آن اشاره شده است برآن شدیم که داده‌ها تجربی پاتیل و همکاران را در ناحیه دمای پایین (۴۰۰ K-۳۰۰) با استفاده از سازوکار MVRH و در ناحیه دمای بالا (۴۷۰ K-۴۰۰) با استفاده از سازوکار فعال سازی گرمایی تحلیل کنیم.

با فرض صحت نظریه VRH نمونه‌های مورد مطالعه در ناحیه دمایی پایین، با برآذش داده‌ها با معادله ۱-۵ انتظار می‌رود ($\rho = L n(T)$) با دما به صورت $T^{-1/4}$ تغییر یابد. آنگاه به کمک شیب نمودار مقدار پارامتر T_M را بدست آوریم. تحلیل انجام شده در شکل ۲۲-۳ و نتایج بدست آمده برای T_M در شکل ۲۳-۳ ارائه گردیده است. لازم به ذکر آنکه مقادیر بدست آمده برای دمای مشخصه نمونه‌ها با مقادیر $(ZnO:Fe)$ گزارش شده توسط رامبو و همکاران [۹] که در بخش ۱-۵-۲ بحث شد برای لایه‌های نازک $K = 10^9 \times 28/35 - 3 \times 10^8$ قابل قیاس می‌باشد.

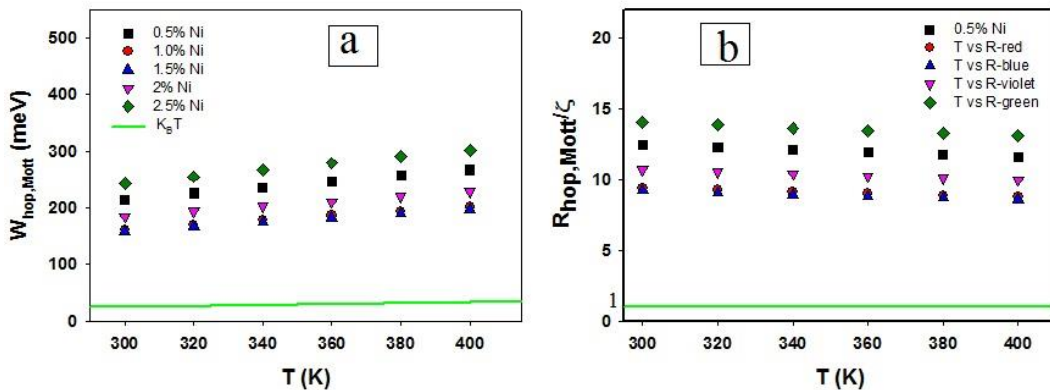


شکل ۲۲-۳: تغییرات ρ بر حسب $T^{1/4}$ برای نمونه های ZnO آلایش یافته با Ni. خط ممتد نشانگر خط برازشی مبتنی بر نظریه MVRH می باشد.



شکل ۲۳-۳: تغییرات دمای مشخصه T_M بر حسب درصد آلایش Ni

با معلوم شدن مقادیر T_M در نمونه‌ها (شکل ۲۳-۳) و قرار دادن آن در معادلات ۱-۷ و ۱-۱۰ با میانگین انرژی جهش‌ها و فاصله متوسط جهش‌ها محاسبه گردید. اکنون با معلوم شدن این نتایج به بررسی شرط‌های لازم (معادلات ۱-۱۲ و ۱-۱۳) جهت تحقق نظریه جهشی حاملها پرداخته‌ایم. شکل ۲۴-۳ الف و ب بترتیب تغییرات \bar{R}_{hop} و ζ / \bar{W}_{hop} را بر حسب دما نشان می‌دهد (مقدار ζ برای لایه‌های نازک ZnO در حدود ۲ nm گزارش شده است [۷]). مقادیر تغییرات مربوط \bar{W}_{hop} و \bar{R}_{hop} در گستره دمایی K-۳۰۰ در ستون‌های ۳ و ۴ در جدول ۳-۴ ارائه گردیده است.



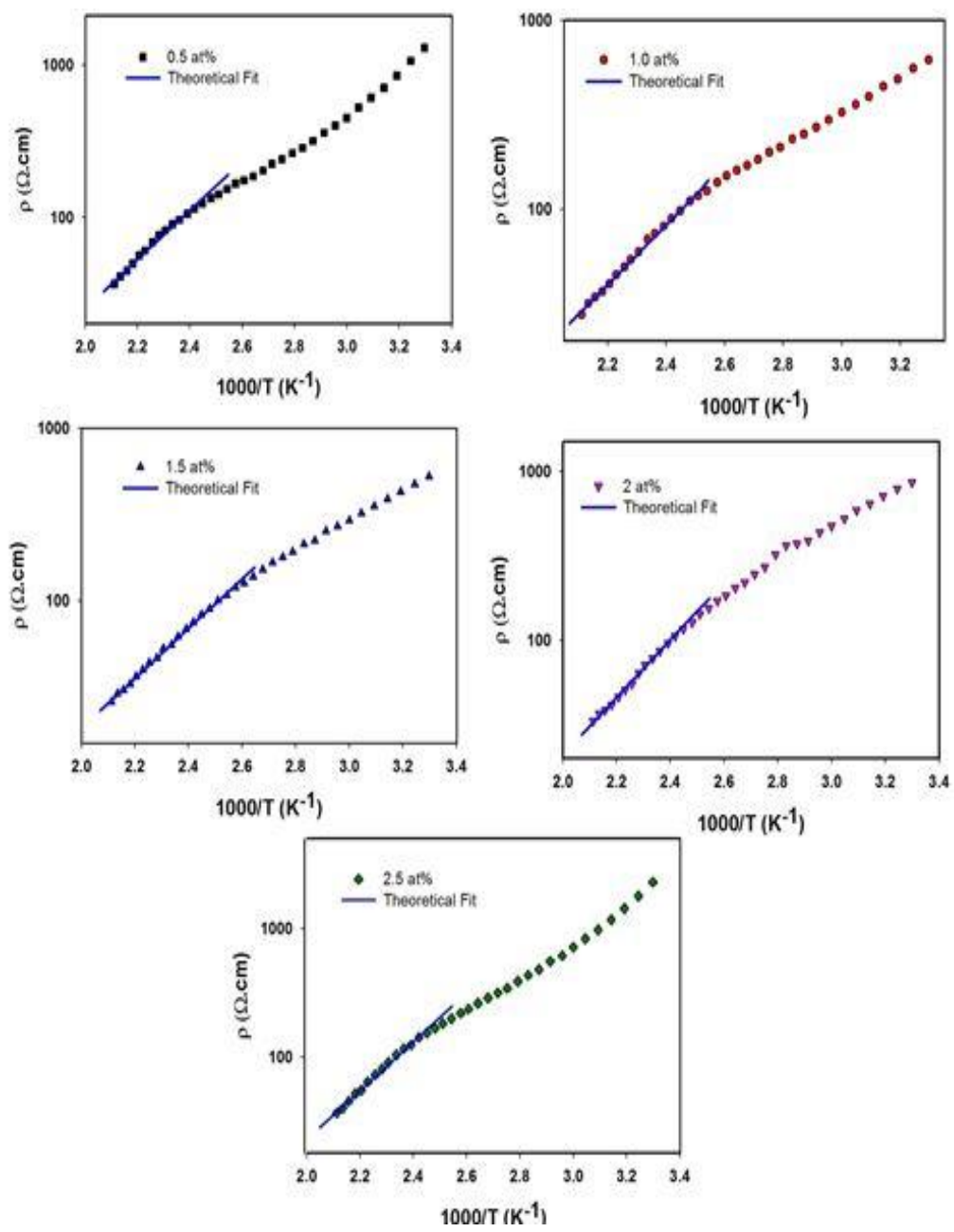
شکل ۲۴-۳: تغییرات (الف) $R_{hop,Mott}$ و (ب) $\zeta / W_{hop,Mott}$ بر حسب T برای نمونه‌های ZnO آلایش شده با Ni.

همانطور که از شکل ۲۴-۳-الف و ب مشاهده می‌شود همهی نمونه‌ها شرایط لازم برای صدق نظریه MVRH برآورده کرده‌اند. اکنون با توجه به صدق نظریه رسانایی جهشی الکترونی در این نمونه‌ها با استفاده از معادله ۱-۹ به تعیین تخمینی از تراکم حالت‌ها در محل تراز فرمی ($N(E_F)$) پرداختیم که نتایج این محاسبات در جدول ۳-۴ ارائه گردیده است.

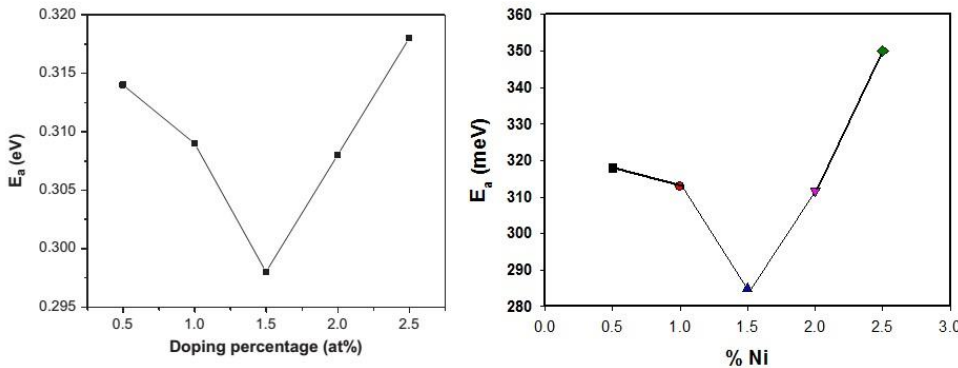
جدول ۴-۳: مقادیر $N(E_F)$ و T_M , $\bar{R}_{hop,Mott}$, $\bar{W}_{hop,Mott}$ در گستره دمایی $400 \text{ K} - 300$.

نمونه	$T_M \times 10^4$ (K)	$\bar{W}_{hop,Mott}$ (meV)	$\bar{R}_{hop,Mott}$ (nm)	$N(E_F) \times 10^{11}$ (J ⁻¹ m ⁻³)
ZnO/Ni 0.5%	۳/۶۷	۲۶۷-۲۱۵	۲۳/۲۲-۲۴/۹۵	۹/۰۶
ZnO/Ni 1.0%	۱/۱۹	۲۰۱-۱۶۲	۱۷/۶۰-۱۸/۸۲	۱۳/۷
ZnO/Ni 1.5%	۱/۱۰	۱۹۷-۱۵۹	۱۸/۱۷-۱۸/۴۶	۱۴/۸
ZnO/Ni 2.0%	۱/۹۹	۲۲۹-۱۸۴	۱۹/۲۰-۲۱/۴۰	۸/۱۹
ZnO/Ni 2.5%	۶/۰۰	۳۰۲-۲۴۳	۲۶/۲۵-۲۸/۲۰	۲/۷۲

چنانچه اشاره شد در محدوده دمایی ($470 \text{ K} - 400$) ما از سازوکار رسانش از طریق فعالسازی (نظریه آرنیوس معادله (۱۴-۱)) استفاده کردہ‌ایم. انرژی فعالسازی وابسته را در هر یک از نمونه‌های مورد بررسی به روش برآش داده‌ها از طریق کمینه سازی مجموع مربعات تعیین نمودیم. نتایج بدست آمده در شکل ۲۶-۳ و منحنی وابسته در شکل ۲۵-۳ نشان داده شده است.



شکل ۳-۲۵: تغییرات ρ بر حسب $1000/T$ در فیلم های ZnO آلایش یافته با Ni که در آن خط آبی، خط برآشی مبتنی بر نظریه آرینوس می باشد.



شکل ۲۶-۳: تغییرات انرژی فعال سازی گرمایی (الف) تحلیل شده توسط پاتیل و همکاران [۵۴] و (ب) تحلیل ما در لایه‌های نازک ZnO بر حسب درصد آلایش Ni

همانطور که از شکل ۲۶-۳ پیداست انرژی فعال سازی برای فیلم‌های اکسید روی آلایش شده با نیکل با درصد های $1/5\%$ تا $1/50\%$ کاهش برای درصدهای بالاتر افزایش پیدا می کند که این تغییرات متناظر با تغییرات ابعاد بلور می باشد.

نتیجه گیری:

ما با تحلیل داده‌های وابستگی دمایی رسانندگی الکتریکی اکسید روی آلایش شده با Ni گزارش شده توسط سها و همکاران [۴۹] با میزان آلایش ۲ تا ۶ درصد اتمی در بازه دمایی $400\text{--}300\text{ K}$ و پاتیل و همکاران [۵۳] با میزان آلایش $5/0\%$ تا $2/5$ درصد اتمی در بازه دمایی $470\text{--}300\text{ K}$ دریافتیم که رسانندگی در دماهای پایین (دماهای کمتر از 400 K) از طریق جهش الکترون‌ها در ترازهای ناخالصی در زیر نوار رسانش صورت می گیرد که با استفاده از سازوکار MVRH انرژی متوسط جهش‌ها، فاصله متوسط جهش‌ها و چگالی ترازها در سطح فرمی را تخمین زده‌ایم.

با مقایسه نتایج بدست آمده برای لایه‌های ZnO آلایش شده به میزان 2% نیکل که توسط پاتیل با استفاده از روش اسپری و سها با استفاده از روش کندوپاش بر روی سطح شیشه لایه نشانی شده است

مشاهده می شود که، در نمونه تهیه شده به روش کندوپاش در مقایسه با نمونه تهیه شده به روش اسپری پایرولیز چگالی ترازها در سطح فرمی بیشتر و انرژی جهش‌ها و فاصله متوسط جهش‌ها کمتر میباشد که این می‌تواند دلیلی بر رسانندگی بالای نمونه ساها و مهم بودن روش لایه نشانی باشد.

در ناحیه دمایی بالا (بالاتر از 400 K) با استفاده از سازوکار فعال‌سازی گرمایی آرنیوس، انرژی فعال‌سازی مربوط به ترازهای عمیق ایجاد شده (بدلیل آلایش Ni) در پایین نوار رسانش را بدست آوردیم. مقدار انرژی فعال‌سازی برای داده‌های ساها و همکاران $135\text{ meV}-260\text{ meV}$ و مقدار انرژی فعال‌سازی برای داده‌های پاتیل و همکاران $285\text{ meV}-376\text{ meV}$ بدست آمد.

پیشنهادات

۱- تحقیق در مطالعه سازوکارهای رسانندگی الکتریکی در لایه‌های نازک در سایر مواد اکسید فلزی

نظیر MoO_3 , NiO , WO_3 و ...

۲- تحقیق در مطالعه سازوکارهای رسانندگی الکتریکی در لایه‌های نازک نیمرسانای غیر اکسیدی نظیر

... ZnS , GaN , CNT

منابع

- [1] John Allison, **1971**, " **Electronic Engineering Semiconductors and devices**", McGraw-Hill Book Company, Shoppenhangers Rd Maidenhead Berkshire England.
- [2] S. M. Sze, **1969**, " **Physics of Semiconductor Devices**.", Wiley-Interscience, New York.
- [3] اس.ام. زی، ۱۳۷۵، " **فیزیک و تکنولوژی قطعات نیمرسانا**"، غلامحسین سدیر عاملی، چاپ اول، دانشگاه امام رضا (ع)، مشهد، ۶۲۸ ص.
- [4] جاسپریت سینگ، ۱۳۸۱، "(**مقدمه‌ای بر افزاره‌های نیمه‌هادی) فیزیک الکترونیک**،" مرتضی فتحی‌پور، علیرضا احسانی اردکانی، چاپ اول، مؤسسات انتشارات و چاپ دانشگاه تهران، تهران، ۸۲۴ ص.
- [5] P. R. Patil, and P. S. Patil. (**2001**), " **Preparation of mixed oxide MoO₃-WO₃ thin film by spray pyrolysis technique and their characterisation**.", *Thin Solid Films* 382, no. 1 13-22.
- [6] Yildiz, A., S. B. Lisesivdin, M. Kasap, and D. Mardare, (**2009**), " **Non-adiabatic small polaron hopping conduction in Nb-doped TiO₂ thin film**.", *Physica B: Condensed Matter* 404, no. 8 1423-1426.
- [7] C.C. Lien, C.Y. Wu, Z.Q. Li, and J. J. Lin, (**2011**), " **Electrical conduction processes in ZnO in a wide temperature range 20–500 K**.", *Journal of Applied Physics*, 110, no. 6, 063706.
- [8] P. Biswas, S. Kundu, and P. Banerji, (**2013**), " **A study on electrical transport vis-à-vis the effect of thermal annealing on the p-type conductivity in arsenic-doped MOCVD grown ZnO in the temperature range 10–300K**.", *Journal of Alloys and Compounds*, 552 304-309.

- [9] A. P. Rambu, V. Nica, and M. Dobromir, (2013), "Influence of Fe-doping on the optical and electrical properties of ZnO films.", *Superlattices and Microstructures*, 59 87-96.
- [10] T. Serin, S. Gurakar, H. Ot, A. Yildiz, and N. Serin, (2015) "Influence of oxygen flow rate in CuO.", *Applied Surface Science*.
- [11] Sun, Young, Xiaojun Xu, and Yuheng Zhang, (2000), "Effects of Fe doping in La 0.67 Sr 0.33 CoO 3.", *Physical Review B*, 62, no. 9, 5289.
- [12] K. X. Jin, H. Li, J. Y. Wang, X. Y. Tan, S. G. Zhao, and C. L. Chen, (2012), "Crossover of magnetoresistance from positive to negative in La 0.5 Sr 0.5 CoO 3– σ /Si heterostructure", *Thin Solid Films*, 520, no. 13, 4493-4496.
- [13] Fahrettin, Yakuphanoglu, (2009), "Electrical conductivity, Seebeck coefficient and optical properties of SnO₂ film deposited on ITO by dip coating.", , *Journal of Alloys and Compounds* 470, no. 1, 55-59.
- [14] R. Mariappan., V. Ponnuswamy, P. Suresh, R. Suresh, M. Ragavendar, and C. Sankar, (2013), "Deposition and characterization of pure and Cd doped SnO₂ thin films by the nebulizer spray pyrolysis (NSP) technique.", *Materials Science in Semiconductor Processing* 16, no. 3, 825-832.
- [15] Shikha, Bansal, Dinesh K. Pandya, and Subhash C. Kashyap, (2012), "Charge transport mechanism in high conductivity undoped tin oxide thin films deposited by reactive sputtering.", *Thin Solid Films* 524, 30-34.
- [16] D. M. Jundale, S. G. Pawar, S. L. Patil, M. A. Chougule, P. R. Godse, and V. B. Patil, 2011, "Effect of annealing on structure, morphology and optoelectronic properties of nanocrystalline CuO thin films.", In *OPTICS: PHENOMENA, MATERIALS, DEVICES, AND CHARACTERIZATION: OPTICS 2011: International Conference on Light*, vol. 1391, no. 1, pp. 573-575. AIP Publishing.

[۱۷] ع. رازقی زاده، ۱۳۸۸، "فیزیک لایه های نازک"، دانشگاه پیام نور، تهران.

- [18] R. W. Berry, P. M. Hall & M.T. Harris, **1968** , "Thin film Technology", , Van Nostrand Company.
- [19] Chennupati. Jagadish, and Stephen. J. Pearton, **(2006)**, "Zinc oxide bulk." *Thin Films and Nanostructures*.
- [20] Z. L. Wang, **(2007)**, "Novel nanostructures of ZnO for nanoscale photonics, optoelectronics, piezoelectricity, and sensing.", *Applied Physics A*, 88(1), 7-15.
- [21] S. W. Kim, S. Fujita, H. K. Park, B. Yang, H. K. Kim, and D. H. Yoon, **(2006)**, "Growth of ZnO nanostructures in a chemical vapor deposition process.", *Journal of crystal growth*, 292(2), 306-310.
- [22] S. Baruah, and J. Dutta, **(2009)**, "Hydrothermal growth of ZnO nanostructures.", *Science and Technology of Advanced Materials*, 10(1), 013001.
- [23] J. Li, S. Srinivasan, G. N. He, J. Y. Kang, S. T. Wu, and F. A. Ponce, **(2008)**, "Synthesis and luminescence properties of ZnO nanostructures produced by the sol-gel method.", *Journal of Crystal Growth* 310(3), 599-603.
- [24] J. H. Park, Y.J. Choi, and J. G. Park, **(2005)**, "Synthesis of ZnO nanowires and nanosheets by an O₂-assisted carbothermal reduction process.", *Journal of Crystal Growth*, 280(1), 161-167.
- [25] A. A. Scalisi, R. G. Toro, G. Malandrino, M. E. Fragala, and G. Pezzotti, **(2008)** "Growth of ZnO nanostructures produced by MOCVD: a study of the effect of the substrate.", , *Chemical Vapor Deposition*, 14(5-6), 115-122.
- [26] Dedova, T., M. Krunks, M. Grossberg, O. Volobujeva, and I. Oja Acik, **(2007)**, "A novel deposition method to grow ZnO nanorods: Spray pyrolysis.", *Superlattices and Microstructures*, 42(1), 444-450.

- [27] S. J. Pearton, D. P. Norton, K. Ip, Y. W. Heo, and T. Steiner, (2005), "Recent progress in processing and properties of ZnO.", *Progress in materials science*, 50(3), 293-340.
- [28] L. Armelao, D. Barreca, M. Bertapelle, G. Bottaro, C. Sada, and E. Tondello, (2003), "A sol-gel approach to nanophasic copper oxide thin films.", *Thin Solid Films*, 442(1), 48-52.
- [29] D. Chauhan, V. R. Satsangi, S. Dass, and R. Shrivastav, (2006), "Preparation and characterization of nanostructured CuO thin films for photoelectrochemical splitting of water.", *Bulletin of Materials Science*, 29(7), 709.
- [30] I. A. Ezenwa, (2012), "Optical Analysis of Chemical bath Fabricated CuO Thin Films.", *Research Journal of Recent Sciences*, 1(1), 46-50.
- [31] J. Y. Park., T. H. Kwon, S. W. Koh, and Y. C. Kang, (2011), "Annealing temperature dependence on the physicochemical properties of copper oxide thin films.", *Bull. Korean Chem. Soc.*, 32(4), 1331-1335.
- [32] M. K. Song, S. Park, F. M. Alamgir, J. Cho, and M. Liu, (2011), "Nanostructured electrodes for lithium-ion and lithium-air batteries: the latest developments, challenges, and perspectives.", *Materials Science and Engineering: R: Reports*, 72(11), 203-252.
- [33] V. V. Kislyuk, and O. P. Dimitriev, (2008), "Nanorods and nanotubes for solar cells.", *Journal of nanoscience and nanotechnology*, 8(1), 131-148.
- [34] F. Mumm, A. T. J. V. Helvoort, and P. Sikorski, (2009), "Easy route to superhydrophobic copper-based wire-guided droplet microfluidic systems.", *Ac Nano*, 3(9), 2647-2652.
- [35] K. J. Choi, and H. W. Jang, (2010), "One-dimensional oxide nanostructures as gas-sensing materials: review and issues.", *Sensors*, 10(4), 4083-4099.

- [36] L. P. Zhou, B. X. Wang, X. F. Peng, X. Z. Du, and Y. P. Yang, (2010), "On the Specific Heat Capacity of CuO Nanofluid.", *Advances in Mechanical Engineering*.
- [37] S. B. Wang, C. H. Hsiao, S. J. Chang, K. T. Lam, K. H. Wen, S. C. Hung, S. J. Young, and B. R. Huang, (2011), "A CuO nanowire infrared photodetector.", *Sensors and Actuators A: Physical*, 171 (2), 207-211.
- [38] X. Zhang, W. Shi, J. Zhu, D. J. Kharistal, W. Zhao, B. S. Lalia, H. H. Hng, and Q. Yan, (2011), "High-power and high-energy-density flexible pseudocapacitor electrodes made from porous CuO nanobelts and single-walled carbon nanotubes.", *ACS nano*, 5(3), 2013-2019.
- [39] J. Liu, J. Jin, Z. Deng, S. Z. Huang, Z. Y. Hu, L. Wang, C. Wang et al, (2012), "Tailoring CuO nanostructures for enhanced photocatalytic property.", *Journal of colloid and interface science*, 384(1), 1-9.
- [40] R. V. Kumar, Y. Diamant, and A. Gedanken, (2000), "Sonochemical synthesis and characterization of nanometer-size transition metal oxides from metal acetates.", *Chemistry of Materials* 12(8), 2301-2305.
- [41] J. Mizusaki, J. Tabuchi, T. Matsuura, S. Yamauchi, and K. Fueki, (1989), "Electrical Conductivity and Seebeck Coefficient of Nonstoichiometric La_{1-x} Sr_x CoO_{3-δ}.", *Journal of The Electrochemical Society*, 136(7), 2082-2088.
- [42] B. Yang, S. Aggarwal, A. M. Dhote, T. K. Song, R. Ramesh, and J. S. Lee, (1997), "La_{0.5}Sr_{0.5}CoO₃/Pb (Nb_{0.04}Zr_{0.28}Ti_{0.68}) O₃/La_{0.5}Sr_{0.5}CoO₃ thin film heterostructures on Si using TiN/Pt conducting barrier.", *Applied physics letters*, 71(3), 356-358.
- [43] J. J. Liangg, and Hung-Shan Weng, (1993), "Catalytic properties of lanthanum strontium transition metal oxides (La_{1-x}Sr_xBO₃; B= manganese, iron, cobalt, nickel) for toluene oxidation.", *Industrial & engineering chemistry research*, 32, no. 11, 2563-2572.

- [44] S. Zhang, Ning Han, and Xiaoyao Tan, (2015), "Density functional theory calculations of atomic, electronic and thermodynamic properties of cubic LaCoO₃ and La_{1-x} Sr_x CoO₃ surfaces.", *RSC Advances* 5, no. 1, 760-769.
- [45] K. Daoudi, T. Tsuchiya, T. Nakajima, A. Fouzri, and M. Oueslati, (2010), "Epitaxial growth of La_{0.7} Sr_{0.3} CoO₃ thin films on SrTiO₃ substrates by metal-organic deposition.", *Journal of Alloys and Compounds* 506, no. 2, 483-487.
- [46] Kais. Daoudi, Zied Othmen, Saoussen El Helali, Meherzi Oueslati, and Tetsuo Tsuchiya. "Metal-Organic Deposition of Epitaxial La_{0.7} Sr_{0.3} CoO₃ Thin Films on LaAlO₃ Substrates.", (2015), *Crystal Structure Theory and Applications* 4, no. 01, 1.
- [47] G. Prokhorov, , G. G. Kaminsky, I. I. Kravchenko, and Y. P. Lee, (2002), "Transport properties of La_{1-x} Sr_x CoO_{3-δ} films (0.15 < x < 0.5).", *Physica B: Condensed Matter* 324, no. 1, 205-216.
- [48] J. S. Shaikh, R. C. Pawar, R. S. Devan, Y. R. Ma, P. P. Salvi, S. S. Kolekar, and P. S. Patil, (2011), "Synthesis and characterization of Ru doped CuO thin films for supercapacitor based on Bronsted acidic ionic liquid.", *Electrochimica Acta* 56, no. 5, 2127-2134.
- [49] B. Saha, N. S. Das, and K. K. Chattopadhyay, (2014), "Combined effect of oxygen deficient point defects and Ni doping in radio frequency magnetron sputtering deposited ZnO thin films.", *Thin Solid Films* 562 37-42.
- [50] P. Sagar, M. Kumar, and R. M. Mehra, (2008), "The Meyer-Neldel rule in sol-gel derived polycrystalline ZnO: Al thin films.", *Solid State Communications*, 147, no. 11, 465-469.
- [۵۱] محمد یونسی، آرش پاکدل، ۱۳۸۸، "اثر آلایش کم نیکل بر روی خواص نوری و ساختاری نانو لایه‌های اکسید روی"، کنفرانس/نجمن/پتیک و فوتونیک /یران، دوره ۱۶۵.

- [52] T. Wakano, N. Fujimura, Y. Morinaga, N. Abe, A. Ashida, T. Ito, (2001), "**Magnetic and magneto-transport properties of ZnO:Ni films**", *Phys. E.* 10, 260.[53] S. K. Patil, S. S. Shinde, and K. Y. Rajpure, (2013), "**Physical properties of spray deposited Ni-doped zinc oxide thin films.**", *Ceramics International* 39, no. 4, 3901-3907.

Abstract

Studying the electrical properties play important role in experimental and theoretical investigations of thin film materials. Temperature dependence of electrical conductivity is an important parameter of electrical properties of thin film samples that can be used not only to find the conduction processes in a sample but also the details of impurities levels, including the position and density of levels within the band gap. In this research work we have tried to investigate theoretically the electrical conductivity of thin layers of strontium lanthanum cobalt oxide $\text{La}_{0.7}\text{Sr}_{0.3}\text{CoO}_3$ (LSCO), copper oxide doped with ruthenium (CuO:Ru) and zinc oxide doped with nickel (ZnO:Ni) using Mott variable range hopping (MVRH) and Arrhenius thermal activation.

In LSCO samples, we found using MVRH, Mott characteristic temperature (T_M) is in the range of 2.8×10^5 - 5×10^6 K, the density of states at the Fermi level ($N(E_f)$) is 8.3×10^{44} - $2.0 \times 10^{46} (\text{J}^{-1} \cdot \text{m}^{-3})$, the average hopping energy (W_{hop}) 14-77 meV, the average hopping distance (R_{hop}) 1.4- 4.0 nm. In the sample with higher conductivity using thermal activation mechanism the Arrhenius activation energy (E_a) was found to be 8-19 meV in the temperature range of study.

In CuO:Ru samples, using MVRH mechanism we found, T_M is about 1×10^5 - 1.6×10^6 K, $N(E_f) \sim 1.8 \times 10^{47}$ - $9.3 \times 10^{48} (\text{J}^{-1} \cdot \text{m}^{-3})$, $W_{\text{hop}} \sim 29$ -69 meV, $R_{\text{hop}} \sim 0.3$ -0.5 nm and $E_a \sim 72$ -75 meV in the range of studied temperature.

In ZnO:Ni samples, using MVRH mechanism we found, T_M is about 1.2×10^6 - 1.7×10^7 K, $N(E_f) \sim 6.0 \times 10^{42}$ - $1.4 \times 10^{44} (\text{J}^{-1} \cdot \text{m}^{-3})$, $W_{\text{hop}} \sim 51$ -112 meV, $R_{\text{hop}} \sim 5.7$ -11.6 nm and $E_a \sim 135$ -260 meV in the range of studied temperature.

Keywords: electrical properties, electrical conductivity, thin film semiconductor, $\text{La}_{0.7}\text{Sr}_{0.3}\text{CoO}_3$, CuO:Ru , ZnO:Ni .



Shahrood University of Technology

Faculty of Physics

**A theoretical investigation on physical
properties of metal-oxide thin film semiconductors**

Halimeh Choramin

Supervision:

Professor. Hosein Eshghi

February 2016